

LATITUDE INTEGRATION ŠPECIFIKÁCIA IDCO

LATITUDE™ NXT

LATITUDE NXT Systém Monitorovania Pacienta

Outdated version. Do not use.
Version überholt. Nicht verwenden.
Version obsolète. Ne pas utiliser.
Versión obsoleta. No utilizar.
Versione obsoleta. Non utilizzare.
Verouderde versie. Niet gebruiken.
Föråldrad version. Använd ej.
Παλιά έκδοση. Μην την χρησιμοποιείτε.
Versão obsoleta. Não utilize.
Forældet version. Må ikke anvendes.
Zastaralá verzia. Nepoužívať.
Utdatert versjon. Skal ikke brukes.
Zastaraná verzia. Nepoužívať.
Elavult verzió. Ne használja!
Wersja nieaktualna. Nie używać.

Outdated version. Do not use.
Version überholt. Nicht verwenden.
Version obsolète. Ne pas utiliser.
Versión obsoleta. No utilizar.
Versione obsoleta. Non utilizzare.
Verouderde versie. Niet gebruiken.
Föråldrad version. Använd ej.
Παλιά έκδοση. Μην την χρησιμοποιείτε.
Versão obsoleta. Não utilize.
Forældet version. Må ikke anvendes.
Zastaralá verze. Nepoužívat.
Utdatert versjon. Skal ikke brukes.
Zastaraná verzia. Nepoužívať.
Elavult verzió. Ne használja!
Wersja nieaktualna. Nie używać.

Diaľkový systém monitorovania pacienta Boston Scientific LATITUDE generuje hlásenia Implantabilné zariadenie – srdce – observácia (IDCO) v súlade so špecifikáciami a definíciami uvádzanými v tomto dokumente. Hlásenia sú kompatibilné s profilom Integrating the Healthcare Enterprise (IHE) Patient Care Device (PCD) Technical Framework IDCO. Tieto hlásenia slúžia na prenos údajov pacienta do systému na elektronické zdravotnícke záznamy (EMR) alebo do klinického informačného systému (CIS).

Tento dokument je určený používateľom produktu Boston Scientific (BSC) LATITUDE, ktorí (1) integrujú hlásenia IDCO do systému EMR a (2) používajú systémy EMR alebo CIS na sledovanie a správu údajov pacienta. Prvá časť tohto dokumentu („Špecifikácia hlásenia LATITUDE IDCO“) je primárne určená technickému personálu, ktorý bude zaisťovať integráciu hlásení. Druhá časť je primárne určená klinickým pracovníkom, vysvetľuje verziu Boston Scientific údajov v správe.

POZNÁMKY: Predpokladáme, že čitatelia tejto časti poznajú terminológiu HL7 a IDCO, syntax špecifikácií, typy údajov, štruktúry hlásení a sémantiku správ IDCO. Viac informácií nájdete na nasledujúcich stránkach:

- www.hl7.org – hlásenia HL7
- www.ihe.net – hlásenia IDCO
- http://ihe.net/Technical_Framework/index.cfm#pcd – PCD-09 Technical Framework (pozostáva zo zväzkov 1, 2 a 3)
- <http://standards.ieee.org/findstds/standard/11073-10103-2012.html> – nomenklatúra IEEE IDCO

Outdated version. Do not use.
Version überholt. Nicht verwenden.
Version obsolète. Ne pas utiliser.
Versión obsoleta. No utilizar.
Versione obsoleta. Non utilizzare.
Verouderde versie. Niet gebruiken.
Föråldrad version. Använd ej.
Παλιά έκδοση. Μην την χρησιμοποιείτε.
Versão obsoleta. Não utilize.
Forældet version. Må ikke anvendes.
Zastaralá verze. Nepoužívat.
Utdatert versjon. Skal ikke brukes.
Zastaraná verzia. Nepoužívať.
Elavult verzió. Ne használja!
Wersja nieaktualna. Nie używać.

OBSAH

| | |
|---|------------|
| ŠPECIFIKÁCIE HLÁSENÍ LATITUDE IDCO | 1-1 |
| KAPITOLA 1 | |
| Špecifikácie hlásení Latitude IDCO..... | 1-2 |
| Štruktúra segmentu..... | 1-2 |
| Štruktúra segmentu MSH..... | 1-2 |
| Štruktúra segmentu PID | 1-2 |
| Štandardný identifikátor pacienta IDCO (prvý identifikátor v zozname) | 1-2 |
| ID pacienta Latitude (druhý identifikátor v zozname) | 1-2 |
| Štruktúra segmentu PV1..... | 1-3 |
| Štruktúra segmentu PV2..... | 1-3 |
| Štruktúra segmentu OBR..... | 1-3 |
| Štruktúra segmentu OBX..... | 1-3 |
| Parametre výstupu..... | 1-4 |
| Štruktúra segmentu NTE..... | 1-4 |
| Správy | 1-4 |
| Prezentujúca správa EGM..... | 1-4 |
| Kombinovaná kontrolná správa..... | 1-4 |
| Správa záznamov arytmií..... | 1-4 |
| Správa HF PERSPECTIV™..... | 1-5 |
| Názvy správ v hlásení..... | 1-5 |
| Základné pojmy..... | 1-5 |
| KONVERZIA ÚDAJOV IMPLANTOVANÉHO ZARIADENIA DO HLÁSENÍ IDCO | 2-1 |
| KAPITOLA 2 | |
| Stav batérie..... | 2-2 |
| SET_BRADY_SENSOR_TYPE..... | 2-2 |
| Mapovanie epizódy | 2-2 |
| Mapovanie počítadiel | 2-3 |
| Mapovanie konfigurácie elektródy | 2-4 |
| Obmedzenia systému..... | 2-5 |
| Definície výstrah a varovaní | 2-6 |
| Správy | 2-6 |
| PRÍKLAD SÚBOROV IDCO | 3-1 |
| KAPITOLA 3 | |
| Príklad súborov IDCO..... | 3-2 |

| | |
|--|------------|
| Ukážkové Hlásenie 1 – Zariadenie S S-ICD | 3-2 |
| Ukážkové Hlásenie 2 – Iné Zariadenia (Bez S-ICD) | 3-4 |
| SYMBOLY NA ŠTÍTKOCH | A-1 |
| PRÍLOHA A | |

Outdated version. Do not use.
Version überholt. Nicht verwenden.
Version obsolète. Ne pas utiliser.
Versión obsoleta. No utilizar.
Versione obsoleta. Non utilizzare.
Verouderde versie. Niet gebruiken.
Föråldrad version. Använd ej.
Παλιά έκδοση. Μην την χρησιμοποιείτε.
Versão obsoleta. Não utilize.
Forældet version. Må ikke anvendes.
Zastaralá verze. Nepoužívat.
Utdatert versjon. Skal ikke brukes.
Zastaraná verzia. Nepoužívať.
Elavult verzió. Ne használja!
Wersja nieaktualna. Nie używać.

ŠPECIFIKÁCIE HLÁSENÍ LATITUDE IDCO

KAPITOLA 1

Táto kapitola obsahuje nasledujúce témy:

- “Špecifikácie hlásení Latitude IDCO” na strane 1-2
- “Štruktúra segmentu” na strane 1-2
- “Štruktúra segmentu MSH” na strane 1-2
- “Štruktúra segmentu PID” na strane 1-2
- “Štruktúra segmentu PV1” na strane 1-3
- “Štruktúra segmentu PV2” na strane 1-3
- “Štruktúra segmentu OBR” na strane 1-3
- “Štruktúra segmentu OBX” na strane 1-3
- “Parametre výstupu” na strane 1-4
- “Štruktúra segmentu NTE” na strane 1-4
- “Správy” na strane 1-4
- “Základné pojmy” na strane 1-5

ŠPECIFIKÁCIE HLÁSENÍ LATITUDE IDCO

Hlásenie LATITUDE IDCO je hlásenie PCD-09 podľa normy IHE PCD Technical Framework Revision 3.0 z 11. októbra 2013. Podľa technického rámca je toto hlásenie štandardným hlásením HL7 v2.6 s nevyžiadanými príkazmi a observáciami. Obsahuje observácie implantovaného zariadenia a je kódované na základe nomenklatúry ISO/IEEE 11073-10103:2014 IDC. Tento medzinárodný štandard popisuje univerzálny model interoperability zdravotníckych elektronických údajov.

Pojmy v úvodzovkách v stĺpcoch s hodnotami uvádzané v nasledujúcich tabuľkách predstavujú pevne stanovené hodnoty, ktoré budú mať vždy zobrazený charakter. Pojmy bez úvodzoviek sú príklady alebo popisy hodnôt.

ŠTRUKTÚRA SEGMENTU

Všetky údaje sa odosielajú podľa štandardu PCD-09. Informácie v tejto časti definujú výstup BSC v hláseniach IDCO. Nie sú vyčerpávajúce a ich cieľom takisto nie je širšie definovať nomenklatúru IDCO.

ŠTRUKTÚRA SEGMENTU MSH

Segment MSH obsahuje informácie o odosielateľovi a príjemcovi správy, type hlásenia, časovú známku atď. Jedná sa o prvý segment správy IDCO.

| NÁZOV PRVKU | SEQ | SUB SEQ | HODNOTA |
|-------------------------|-----|---------|---|
| Odosielajúca aplikácia | 3 | | "LATITUDE" |
| Odosielajúce pracovisko | 4 | | "BOSTON SCIENTIFIC" |
| Príjmajúce pracovisko | 6 | | Názov klinického pracoviska LATITUDE |
| Znakový súbor | 18 | | "UNICODE UTF-8" |

ŠTRUKTÚRA SEGMENTU PID

Segment PID obsahuje informácie identifikátora pacienta ako meno, kódy ID, PSC atď. Tieto informácie slúžia na priradenie pacientov.

Systém LATITUDE umožňuje klinickému pracovisku (voliteľne) pridať svoje vlastné ID pacienta. Voliteľné ID pacienta je uvedené v exportovanom hlásení IDCO. Ak toto ID pacienta definované klinickým pracoviskom použijete, bude uvedené v zozname identifikátorov pacienta (sekvencia 3) ako text nasledujúci po znaku vlnovky (~).

Štandardný identifikátor pacienta IDCO (prvý identifikátor v zozname)

| NÁZOV PRVKU | SEQ | SUB SEQ | HODNOTA |
|------------------------|-----|---------|---------|
| Identifikátor pacienta | 3 | | |
| Priradenie právomocí | 3 | 4 | "BSX" |

ID pacienta Latitude (druhý identifikátor v zozname)

| NÁZOV PRVKU | SEQ | SUB SEQ | HODNOTA |
|---------------------------------|-----|---------|----------------------|
| Zoznam identifikátorov pacienta | 3 | | |
| Číslo ID | 3 | 1 | ID pacienta LATITUDE |

| | | | |
|-------------------------|---|---|---|
| Priradenie právomocí | 3 | 4 | Názov klinického pracoviska LATITUDE |
| Kód typu identifikátora | 3 | 5 | "U" |

Príklad:

PID|1|model:N119/serial:123456^^^BSX^U~{LATITUDE Patient ID} ^^^{LATITUDE
Clinic Name}^U||PatientLastName^PatientFirstName ^^^^^^|19550116|U|...

ŠTRUKTÚRA SEGMENTU PV1

Segment PV1 (návšteva pacienta) obsahuje informácie o ošetrojúcom lekárovi pacienta.

| NÁZOV PRVKU | SEQ | SUB SEQ | HODNOTA |
|-----------------|-----|---------|---------|
| Trieda pacienta | 2 | | "R" |

ŠTRUKTÚRA SEGMENTU PV2

Segment PV2 (návšteva pacienta 2) obsahuje informácie o pacientovej skupine LATITUDE.

| NÁZOV PRVKU | SEQ | SUB SEQ | HODNOTA |
|---|-----|---------|--|
| Názov organizácie (skupiny) | 23 | 1 | Názov skupiny LATITUDE Príklad: Kardiológia |
| Číslo ID (pacientova primárna alebo sekundárna skupina) | | 3 | 1 Pozri poznámku a |

a. Ak je súbor HL7 asociovaný s primárnou skupinou LATITUDE, bude táto hodnota „1“. Ak je asociovaný so sekundárnou skupinou LATITUDE, bude hodnota „2“.

ŠTRUKTÚRA SEGMENTU OBR

Segmenty OBR sú hlavičky časti pre individuálne segmenty interogačných informácií OBX. Obsahujú údaje ako časové známky, identifikátor správy a unikátny identifikátor vygenerovaný systémom.

| NÁZOV PRVKU | SEQ | SUB SEQ | PRÍKLAD HODNOTY |
|-----------------------------------|-----|---------|---|
| Univerzálny identifikátor služieb | 4 | | |
| Identifikátor | | 1 | 754053 |
| Text | | 2 | Pozri poznámku a |
| Č. dátumu/času observácie | 7 | | 20060429080005+0000 Pozri poznámku b |
| Stav výsledku | 25 | | "F" Pozri poznámku c |

- Text univerzálneho identifikátora služieb bude mať formu MDC_IDC_ENUM_SESS_TYPE_{session type} (e.g., MDC_IDC_ENUM_SESS_TYPE_RemoteScheduled).
- Dátum/čas observácie bude zapísaný ako časová známka informujúca, kedy prebehla interogácia implantovaného zariadenia. Časová známka bude zodpovedať časovej zóne nastavenej pre pacienta.
- Stav výsledku bude „F“ (finálne výsledky).

ŠTRUKTÚRA SEGMENTU OBX

Segmenty OBX obsahujú údaje získané pri poslednej interogácii zariadenia.

| NÁZOV PRVKU | SEQ | SUB SEQ | HODNOTA |
|--------------------------|-----|---------|---|
| Stav výsledku observácie | 11 | | "F" Pozri poznámku a |
| Dátum/čas observácie | 14 | | 20060317170000+0000 Pozri poznámku b |

- a. Stav výsledku bude „F“ (finálne výsledky).
b. Dátum merania bude zahrnutý, ak sa líši od dátumu observácie v OBR.

PARAMETRE VÝSTUPU

- Reťazce budú odosielané v jazyku nakonfigurovanom pre klinické pracovisko v systéme LATITUDE.
- Odosielané numerické hodnoty budú vždy používať ako rádový oddeľovač bodku „.“ (tzn. desatinnú bodku).

ŠTRUKTÚRA SEGMENTU NTE

- Zariadenia S-ICD
 - Prvý NTE bude obsahovať informácie o nastavení vo formáte *štítok:hodnota* s jednotlivými nastaveniami oddelenými riadkami (\.br\). Príklad:

```
NTE|1||Sensing Configuration: Primary\.br\Gain Setting: 2X\.br\  
Post Shock Pacing: ON
```
 - Ak sú k dispozícii informácie o stave zariadenia, všetky údaje stavu zariadenia budú v druhom NTE. Príklad:

```
NTE|2||Device requires immediate attention.\.br\|.br\  
Contact  
Boston Scientific - BD.\.br\|.br\  
Americas: 1.800.CARDIAC (227.3422) or  
+1.651.582.4000.\.br\  
Europe, Middle East, Africa: +32 2 416 7222.\.br\  
Asia Pacific: +61 2 8063 8299
```
- Všetky ostatné zariadenia
 - Každá aktivovaná výstraha bude mať svoje NTE.
 - Ak sa v systéme aktivuje varovanie, varovné NTE bude predchádzať jeden alebo viac varovných NTE. Jedno varovné NTE bude obsahovať jedno alebo viac varovaní.

SPRÁVY

Prezentujúca správa EGM

Ak je prezentujúca správa EGM k dispozícii v údajovej časti z PG, bude pripojená k hláseniu vo formáte PDF a spojená s príslušnou epizódou APMRT pomocou skupinového ID (OBX-4) epizódy APMRT.

Kombinovaná kontrolná správa

Kombinovaná kontrolná správa sa k hláseniu pripája ako PDF v samostatnom OBX.

Správa záznamov arytmií

Správa záznamov arytmií je pripojená k správe vo formáte PDF ako samostatný OBX.

Správa HF PERSPECTIV™

Správa HF PERSPECTIV™ je pripojená k správe vo formáte PDF ako samostatný OBX.

Názvy správ v hlásení

Každý segment OBX bude obsahovať názov správy v OBX-3.5. Príklad:

```
OBX|51|ED|18750-0^Cardiac Electrophysiology Report^LN^Combined Follow-up Report||Application^PDF^^Base64^{base 64 encoded PDF here}|...
```

ZÁKLADNÉ POJMY

V nasledujúcej tabuľke nájdete zoznam nomenklatúrnych pojmov, ktoré môžu byť súčasťou hlásenia BSC IDCO.

| Reference ID | Názov obrazovky |
|-----------------------------|--|
| PREPEND MDC_IDC_DEV | Implantabilné srdcové zariadenie |
| _TYPE | Typ implantabilného srdcového zariadenia |
| _MODEL | Model implantabilného srdcového zariadenia |
| _SERIAL | Výrobné číslo implantabilného srdcového zariadenia |
| _MFG | Výrobca implantabilného srdcového zariadenia |
| _IMPLANT_DT | Dátum implantácie implantabilného srdcového zariadenia |
| PREPEND MDC_IDC_LEAD | Vlastnosti implantabilnej elektródy |
| _MODEL | Model implantabilnej elektródy |
| _SERIAL | Výrobné číslo implantabilnej elektródy |
| _MFG | Výrobca implantabilnej elektródy |
| _IMPLANT_DT | Dátum implantácie implantabilnej elektródy |
| _POLARITY_TYPE | Typ polarity implantabilnej elektródy |
| _LOCATION | Poloha implantabilnej elektródy |
| _LOCATION_DETAIL_1 | Detail 1 implantabilnej elektródy |
| PREPEND MDC_IDC_SESS | Interogačná relácia |
| _DTM | Dátum a čas interogačnej relácie |
| _TYPE | Typ interogačnej relácie |
| _CLINIC_NAME | Názov klinického pracoviska |
| PREPEND MDC_IDC_MSMT | Merania |
| _BATTERY | Merania batérie |
| _DTM | Dátum a čas meraní batérie |
| _STATUS | Stav batérie |
| _REMAINING_LONGEVITY | Zostávajúca životnosť batérie |
| _REMAINING_PERCENTAGE | Zostávajúca percentuálna časť energie batérie |
| _CAP | Merania kondenzátora |

| | |
|---|---|
| _CHARGE_DTM | Dátum a čas posledného nabitia kondenzátora |
| _CHARGE_TIME | Čas nabitia kondenzátora |
| _CHARGE_TYPE | Typ nabitia kondenzátora |
| _CHARGE_ENERGY | Energia nabíjania |
| _LEADCHNL_[CHAMBER] | Merania kanálu elektródy |
| _DTM_[STRTEND] | Dátum a čas meraní kanálu elektródy |
| _LEAD_CHANNEL_STATUS | Stav kanálu elektródy |
| _LEADCHNL_[CHAMBER]_SENSING | Merania snímania kanálu elektródy |
| _INTR_AMPL_[MMM] | Vlastná amplitúda snímania kanálu elektródy |
| _POLARITY | Polarita snímania kanálu elektródy |
| _LEADCHNL_[CHAMBER]_PACING_THRESHOLD | Merania stimulačného prahu kanálu elektródy |
| _AMPLITUDE | Amplitúda stimulačného prahu kanálu elektródy |
| _PULSEWIDTH | Šírka impulzu stimulačného prahu kanálu elektródy |
| _MEASUREMENT_METHOD | Metóda merania stimulačného prahu kanálu elektródy |
| _POLARITY | Polarita stimulačného prahu kanálu elektródy |
| _LEADCHNL_[CHAMBER]_IMPEDANCE | Merania impedancie kanálu elektródy |
| _VALUE | Hodnota impedancie kanálu elektródy |
| _POLARITY | Polarita impedancie kanálu elektródy |
| _LEADHVCHNL | Merania vysokonapäťového kanálu elektródy |
| _DTM_[STRTEND] | Dátum a čas vysokonapäťového kanálu elektródy |
| _IMPEDANCE | Impedancia vysokonapäťového kanálu elektródy |
| _MEASUREMENT_TYPE | Typ merania vysokonapäťového kanálu elektródy |
| _STATUS | Stav vysokonapäťového kanálu elektródy |
| PREPEND MDC_IDC_SET | Nastavenia |
| _CRT | Nastavenia CRT |
| _LVRV_DELAY | Omeškanie CRT LV (LK) - RV (PK) |
| _PACED_CHAMBERS | Komory stimulované v priebehu stimulácie CRT |
| _LEADCHNL_[CHAMBER] | Nastavenia kanálu elektródy |
| _LEADCHNL_[CHAMBER]_SENSING | Snímanie nastavenia kanálu elektródy |
| _SENSITIVITY | Citlivosť snímania nastavenia kanálu elektródy |
| _POLARITY | Polarita snímania nastavenia kanálu elektródy |
| _ANODE_LOCATION_[1..3] | Poloha anódy snímania nastavenia kanálu elektródy |
| _ANODE_ELECTRODE_[1..3] | Anódová koncovka snímania nastavenia kanálu elektródy |

| | |
|-----------------------------------|--|
| _CATHODE_LOCATION_[1..3] | Poloha katódy snímania nastavenia kanálu elektródy |
| _CATHODE_ELECTRODE_[1..3] | Katódová koncovka snímania nastavenia kanálu elektródy |
| _ADAPTATION_MODE | Režim adaptácie snímania nastavenia kanálu elektródy |
| _LEADCHNL_[CHAMBER]_PACING | Stimulácia nastavenia kanálu elektródy |
| _AMPLITUDE | Amplitúda stimulácie nastavenia kanálu elektródy |
| _PULSEWIDTH | Šírka impulzu stimulácie nastavenia kanálu elektródy |
| _POLARITY | Polarita stimulácie nastavenia kanálu elektródy |
| _ANODE_LOCATION_[1..3] | Poloha anódy stimulácie nastavenia kanálu elektródy |
| _ANODE_ELECTRODE_[1..3] | Anódová koncovka stimulácie nastavenia kanálu elektródy |
| _CATHODE_LOCATION_[1..3] | Poloha katódy stimulácie nastavenia kanálu elektródy |
| _CATHODE_ELECTRODE_[1..3] | Katódová koncovka stimulácie nastavenia kanálu elektródy |
| _CAPTURE_MODE | Režim zachytenia stimulácie nastavenia kanálu elektródy |
| _BRADY | Nastavenia Brady |
| _MODE | Režim nastavenia Brady (kód NBG) |
| _LOWRATE | Spodný limit frekvencie nastavenia Brady |
| _SENSOR_TYPE | Typ senzora nastavenia Brady |
| _MAX_TRACKING_RATE | Maximálna sledovacia frekvencia nastavenia Brady |
| _MAX_SENSOR_RATE | Maximálna frekvencia senzora nastavenia Brady |
| _SAV_DELAY_[HIGHLOW] | Omeškanie SAV nastavenia Brady |
| _PAV_DELAY_[HIGHLOW] | Omeškanie PAV nastavenia Brady |
| _AT_MODE_SWITCH_MODE | Režim prepnutia režimu AT nastavenia Brady |
| _AT_MODE_SWITCH_RATE | Frekvencia prepnutia režimu AT nastavenia Brady |
| _TACHYTHERAPY | Nastavenia liečby Tachy |
| _VSTAT | Komorový stav nastavenia liečby Tachy |
| _ZONE | Nastavenia zóny |
| _TYPE | Kategória typu nastavenia zóny |
| _VENDOR_TYPE | Kategória typu predajcu nastavenia zóny |
| _STATUS | Stav nastavenia zóny |
| _DETECTION_INTERVAL | Interval detekcie nastavenia zóny |
| _DETECTION_DETAILS | Údaje detekcie |
| _TYPE_ATP_[1..10] | Typ ATP nastavenia zóny |
| _NUM_ATP_SEQS_[1..10] | Počet nastavení zóny sekvencií ATP |
| _SHOCK_ENERGY_[1..10] | Energia výboja nastavenia zóny |

| | |
|--------------------------------|---|
| _NUM_SHOCKS_[1..10] | Počet nastavení zóny výbojov |
| PREPEND MDC_IDC_STAT | Štatistika |
| _DTM_[STRTEEND] | Dátum a čas štatistiky |
| _BRADY | Štatistika Brady |
| _DTM_[STRTEEND] | Dátum a čas štatistiky Brady |
| _RA_PERCENT_PACED | Percento stimulácie RA (PP) štatistiky Brady |
| _RV_PERCENT_PACED | Percento stimulácie RV štatistiky Brady |
| _AT | Štatistika predsieňovej tachykardie |
| _DTM_[STRTEEND] | Dátum a čas štatistiky predsieňovej tachykardie |
| _BURDEN_PERCENT | Percentuálny pomer záťaže AT/AF štatistiky predsieňovej tachykardie |
| _CRT | Štatistika CRT |
| _DTM_[STRTEEND] | Dátum a čas štatistiky CRT |
| _LV_PERCENT_PACED | Percento stimulácie LV (LK) štatistiky CRT |
| _TACHYTHERAPY | Štatistika liečby tachy |
| _SHOCKS_DELIVERED_RECENT | Nedávno aplikované výboje |
| _RECENT_DTM_[STRTEEND] | Nedávny dátum a čas |
| _SHOCKS_DELIVERED_TOTAL | Aplikované výboje celkom |
| _TOTAL_DTM_[STRTEEND] | Dátum a čas celkom |
| _SHOCKS_ABORTED_RECENT | Nedávne výboje zrušené |
| _SHOCKS_ABORTED_TOTAL | Zrušené výboje celkom |
| _ATP_DELIVERED_RECENT | Nedávno aplikované ATP |
| _ATP_DELIVERED_TOTAL | Aplikované ATP celkom |
| _EPISODE | Štatistika epizódy |
| _TYPE | Katégoria typu štatistiky epizódy |
| _TYPE_INDUCED | Indukovaný typ štatistiky epizódy |
| _VENDOR_TYPE | Katégoria typu predajcu štatistiky epizódy |
| _RECENT_COUNT | Nedávny počet štatistiky epizódy |
| _RECENT_COUNT_DTM_[STRTEEND] | Nedávny dátum a čas štatistiky epizódy |
| _TOTAL_COUNT | Celkový počet |
| _TOTAL_COUNT_DTM_[STRTEEND] | Dátum a čas celkom |
| PREPEND MDC_IDC_EPISODE | Epizóda |
| _ID | Identifikátor epizódy |

| | |
|------------------------------------|---------------------------------------|
| _DTM | Dátum a čas epizódy |
| _TYPE | Kategória typu epizódy |
| _TYPE_INDUCED | Indukovaná vlajka štatistiky epizódy |
| _VENDOR_TYPE | Kategória typu predajcu epizódy |
| _ATRIAL_INTERVAL_AT_DETECTION | Predsieňový interval detekcie epizódy |
| _VENTRICULAR_INTERVAL_AT_DETECTION | Komorový interval detekcie epizódy |
| _DETECTION_THERAPY_DETAILS | Detekcia epizódy a detaily liečby |
| _DURATION | Trvanie epizódy |

Outdated version. Do not use.
 Version überholt. Nicht verwenden.
 Version obsolète. Ne pas utiliser.
 Versión obsoleta. No utilizar.
 Versione obsoleta. Non utilizzare.
 Verouderde versie. Niet gebruiken.
 Föråldrad version. Använd ej.
 Παλιά έκδοση. Μην την χρησιμοποιείτε.
 Versão obsoleta. Não utilize.
 Forældet version. Må ikke anvendes.
 Zastaralá verze. Nepoužívat.
 Utdatert versjon. Skal ikke brukes.
 Zastaraná verzia. Nepoužívať.
 Elavult verzió. Ne használja!
 Wersja nieaktualna. Nie używać.

Outdated version. Do not use.
Version überholt. Nicht verwenden.
Version obsolète. Ne pas utiliser.
Versión obsoleta. No utilizar.
Versione obsoleta. Non utilizzare.
Verouderde versie. Niet gebruiken.
Föråldrad version. Använd ej.
Παλιά έκδοση. Μην την χρησιμοποιείτε.
Versão obsoleta. Não utilize.
Forældet version. Må ikke anvendes.
Zastaralá verze. Nepoužívat.
Utdatert versjon. Skal ikke brukes.
Zastaraná verzia. Nepoužívať.
Elavult verzió. Ne használja!
Wersja nieaktualna. Nie używać.

KONVERZIA ÚDAJOV IMPLANTOVANÉHO ZARIADENIA DO HLÁSENÍ IDCO

KAPITOLA 2

Táto kapitola obsahuje nasledujúce témy:

- “Stav batérie” na strane 2-2
- “SET_BRADY_SENSOR_TYPE” na strane 2-2
- “Mapovanie epizódy” na strane 2-2
- “Mapovanie počítadiel” na strane 2-3
- “Mapovanie konfigurácie elektródy” na strane 2-4
- “Obmedzenia systému” na strane 2-5
- “Definície výstrah a varovaní” na strane 2-6
- “Správy” na strane 2-6

Outdated version. Do not use.
Version überholt. Nicht verwenden!
Version obsolete. Ne pas utiliser.
Versión obsoleta. No utilizar.
Versione obsoleta. Non utilizzare.
Verouderde versie. Niet gebruiken.
Föråldrad version. Använd ej.
Παλιά έκδοση. Μην την χρησιμοποιείτε.
Versão obsoleta. Não utilize.
Forældet version. Må ikke anvendes.
Zastaralá verze. Nepoužívat.
Utdatert versjon. Skal ikke brukes.
Zastaraná verzia. Nepoužívať.
Elavult versió. Ne használja!
Wersja nieaktualna. Nie używać.

STAV BATÉRIE

Vymenovania parametrov batérie sa do stavu batérie BSC prenášajú nasledujúcim spôsobom:

| STAV BATÉRIE BSC (zariadenia S-ICD) | STAV BATÉRIE BSC (všetky ostatné zariadenia) | STAV BATÉRIE IDCO |
|-------------------------------------|--|-------------------|
| >10 % zostáva do ERI | BOL | BOS |
| <=10 % zostáva do ERI | OY | MOS |
| ERI | ERI | RRT |
| EOL | EOL | EOS |

Keď vstúpi implantované zariadenie do obmedzenej telemetrie, jeho stav batérie môže byť ERI alebo EOL. Oba stavy batérie povedú k rovnakému hláseniu: ENUM_BATTERY_STATUS_RRT (ERI) v MSMT_BATTERY_STATUS s časovou značkou ERI v MSMT_BATTERY_DTM. Tento stav sa týka výhradne obmedzenej telemetrie, nie zariadení S-ICD.

SET_BRADY_SENSOR_TYPE

Typ senzora bude odoslaný podľa nasledujúcej tabuľky.

| HODNOTA ODOSLANÁ K PREMENNEJ SET_BRADY_SENSOR_TYPE NA ZÁKLADE NASTAVENIA IMPLANTOVANÉHO ZARIADENIA | NASTAVENIE IMPLANTOVANÉHO ZARIADENIA |
|--|--------------------------------------|
| "Accelerometer" | Iba akcelerometer |
| "Minute Ventilation" | Iba MV |
| "Accelerometer + MV" | Akcelerometer a MV |

Vyššie uvedené hodnoty budú odoslané iba za predpokladu, že senzor môže riadiť frekvenciu (tzn. neodôšľu sa, ak je senzor v stave Iba monitorovanie).

Vyššie uvedené hodnoty budú odoslané, ak je možné frekvenciu riadiť v normálnom režime Brady alebo v ATR (tzn. hodnota neodráža iba normálny režim Brady).

Nezabúdajte, že parameter "ATR Only" (Len ATR) sa môže v správach nachádzať, keď je režim ATR v režime s frekvenčnou adaptáciou a normálny režim Brady frekvenčnú adaptáciu nepoužíva. V tomto prípade bude text (napr. "Accelerometer" (Akcelerometer)) aj tak odoslaný v režime ATR. Používateľ môže zhodnotiť režim Brady a režim ATR a určiť, že frekvenčná adaptácia prebieha iba u ATR.

MAPOVANIE EPIZÓDY

Epizódy, počítačľá atď. budú odosielané vo vzťahu k informáciám v interogácii. Rovnaké informácie budú odoslané na začiatku a v nasledujúcom opakovanom odoslaní, aj keď medzi tým prebehli interogácie. Nezabúdajte, že výstup EMR nebude vždy zodpovedať informáciám zobrazeným v správe Quick Notes, keďže Quick Notes zobrazujú epizódy, výstrahy a počítačľá od posledného resetovania. Epizódy sú reprezentované kombináciou normatívnych typov a typov špecifických pre predajcu. Niektoré typy epizód Boston Scientific nie je možné v súčasnej nomenklatúre IDCO unikátne označiť.

| ID EPIZÓDY BSC | TYP EPIZÓDY BSC | NORMATÍVNY TYP EPIZÓDY IDCO | TYP EPIZÓDY IDCO ŠPECIFICKÝ PRE PREDAJCU |
|------------------|-----------------|--|--|
| V-x | VF | VF | BSX-Zone_VF |
| V-x | VT | VT | BSX-Epis_VT |
| V-x | VT (V>A) | VT | BSX-Epis_VT |
| V-x | Tachy | Ak je elektróda v zariadeniach SSI v: <ul style="list-style-type: none"> • V – VT • A – AT/AF • Nešpecifikované – VT | Prázdne |
| V-x | NonSust | Ak je elektróda v zariadeniach SSI v: <ul style="list-style-type: none"> • V – VT • A – AT/AF • Nešpecifikované – VT | Ak A, prázdne inak BSX-Epis_NSVT |
| V-x | SVT (V≤A) | SVT | BSX-Zone_SVT |
| V-x | VT-1 | VT | BSX-Epis_VT-1 |
| RMS-x | RMS | Iná | BSX-Epis_RMS |
| RYTHMIQ™-x | RYTHMIQ™ | Iná | BSX-Epis_RMS |
| ATR-x | ATR | ATAF | BSX-Epis_ATR |
| PMT-x | PMT | Iná | BSX-Epis_PMT |
| SBR-x | SBR | Iná | Žiadne |
| PTM-x | PTM | Aktivovaná pacientom | BSX-Epis_PTM |
| V-x | Cmd V | Iná | Žiadne |
| V-x | NonSustV | VT | BSX-Epis_NSVT |
| APMRT-x | APM RT | Periodické EGM | BSX-Epis_APMRT |
| RVAT-x | RV Auto | Iná | Žiadne |
| RAAT-x | RA Auto | Iná | Žiadne |
| LVAT-x | LV Auto | Iná | Žiadne |
| MRI-x | MRI | Iná | Žiadne |
| <episode number> | Treated | VF | BSX-Zone_VF |
| <episode number> | Untreated | Iná | Pozri poznámku a |

a. Typ epizódy podľa dodávateľa OBX bude uvedený v hlásení s prázdnu hodnotou observácia.

MAPOVANIE POČÍTADIEL

Niektoré počítadlá sa pred odoslaním do hlásenia sčítavajú. Príčinou je fakt, že všetky počítadlá Boston Scientific nie je v súčasnosti možné vyjadriť v nomenklatúre IDCO: Odosielané hodnoty počítadiel informujú o stave od posledného resetovania.

| POČÍTADLO EPIZÓD BSC | ŠTATISTICKÝ NORMATÍVNY TYP EPIZÓDY IDCO | ŠTATISTICKÝ TYP EPIZÓDY IDCO ŠPECIFICKÝ PRE PREDAJCU |
|-----------------------|---|--|
| Treated | VF | BSX-Epis_VF |
| Untreated | Iná | Pozri poznámku a |
| VT (V>A) | VT | BSX-Epis_VT |
| Tachy | VT | BSX-Epis_VT |
| NonSust | VT | BSX-Epis_NSVT |
| NonSustV | VT | BSX-Epis_NSVT |
| SVT (V ≤ A) | SVT | BSX-Epis_SVT |
| ATR | AT/AF | BSX-Epis_ATR |
| MRI | Iná | Pozri poznámku a |
| VF | VF | BSX-Epis_VF |
| VT | VT | BSX-Epis_VT |
| VT-1 | VT | BSX-Epis_VT-1 |
| Cmd | Iná | Pozri poznámku a |
| No Therapy Programmed | Monitor | Pozri poznámku a |
| Other Untreated | Iná | Pozri poznámku a |
| RMS | Iná | BSX-Epis_RMS |
| RYTHMIQ™ | Iná | BSX-Epis_RMS |
| PMT | Iná | BSX-Epis_PMT |
| SBR | Iná | Pozri poznámku a |
| PTM | Aktivovaná pacientom | BSX-Epis_PTM |
| APM RT | Periodické EGM | BSX-Epis_APMRT |
| RA Auto | Iná | Pozri poznámku a |
| RV Auto | Iná | Pozri poznámku a |
| LV Auto | Iná | Pozri poznámku a |

a. Stav počítadla podľa dodávateľa OBX bude uvedený v hlásení s prázdňou hodnotou observácie.

MAPOVANIE KONFIGURÁCIE ELEKTRÓDY

V nasledujúcej tabuľke je popísaná definícia elektród s viacerými pólmi v štandardoch IDCO a BSC. Táto tabuľka nepredstavuje vyčerpávajúci zoznam, iba vymenováva informácie, ktoré nemusia byť zjavné.

Definície používané spoločnosťou BSC sú navrhnuté, aby odpovedali programátoru/nahrávaciemu zariadeniu/monitoru (PRM) a internetovej stránke LATITUDE.

| NÁZOV ELEKTRÓDY BSC | POLOHA ELEKTRÓDY IDCO | NÁZOV ELEKTRÓDY IDCO |
|---------------------|-----------------------|----------------------|
| Zariadenie | Iná | Zariadenie |
| LVTip1 | LV (LK) | Špička |
| LVRing2 | LV (LK) | Ring1 |
| LVRing3 | LV (LK) | Ring2 |
| LVRing4 | LV (LK) | Ring3 |

MDC_IDC_ENUM_ELECTRODE_LOCATION (poloha stimulačnej/snímačnej anódy/katódy) v súčasnosti vo vymenovaní nezahŕňa kapsu (tzn. zariadenie). Poloha bude odoslaná ako „iná“ a pól elektródy ako „zariadenie“.

Stav „skontrolujte elektródu“ informuje o možnom probléme s elektródou. Ak však tento stav aktívny nie je, elektróda ešte nemusí fungovať správne. Systém odosiela stav „skontrolujte elektródu“, ak sa aktivuje ktorýkoľvek z nasledujúcich stavových indikátorov:

- Zariadenia S-ICD
 - Vysoká impedancia pólu elektródy
- Všetky ostatné zariadenia
 - Bezpečnostný spínač elektródy
 - Impedancia mimo rozsah
 - Amplitúda mimo rozsah
 - Nízka impedancia výboja
 - Vysoká impedancia výboja
 - Vysoké napätie pri nabíjaní

Pri MSMT_LEADCHNL_[CHAMBER] (tzn. meranie kanálu elektródy ako vlastná amplitúda, impedancia elektródy, stimulačný prah) je podľa aktuálnej nomenklatúry IDCO u všetkých meraní možné len jedno rozmedzie časovej známky (tzn. každé meranie nemá svoje vlastné rozmedzie). Ak sa časy merania líšia, systém odošle rozmedzie časovej známky (tzn. MIN, MAX) zahŕňajúce časy všetkých meraní. Odosielané hodnoty budú zodpovedať hodnote IDCO MEAN podľa nomenklatúry IDCO. Hodnoty sú však samostatnými meraniami, nejedná sa o priemerné hodnoty za rozmedzie časovej známky.

OBMEDZENIA SYSTÉMU

- Výstup špecifický pre Tachy a pre komory má maximálnu možnú presnosť. V niektorých prípadoch však dôležitosť odosielenia údajov a skutočnosť, že štandard IDCO nie je schopný uvádzať niektoré parametre, vedú k odoslaniu údajov. Napríklad: informácie zóny VT sa odosielať, ako keby zariadenia Brady mali zónu VT.
- U zariadení bez automatického stimulačného prahu (funkcia Autothreshold) sa odosiela posledné meranie prahu v ambulancii.
- Správne nahlasovanie údajov z implantovaného zariadenia a oznamovanie výstrah systémom LATITUDE NXT závisí od toho, či sú hodiny implantovaného zariadenia správne nastavené pomocou Programátora/nahrávacieho zariadenia/monitora (PRM). Správne nahlasovanie môže byť po správnom naprogramovaní hodín implantovaného zariadenia na určitý čas naďalej ovplyvnené v závislosti od množstva údajov prijatých s nesprávnou informáciou o čase a časovej odchýlky hodín implantovaného zariadenia.

- Reťazce budú odosielané v jazyku nakonfigurovanom pre klinické pracovisko v systéme LATITUDE.

DEFINÍCIE VÝSTRAH A VAROVANÍ

Varovné a výstražné hlásenia sú do hlásenia zaradené ako poznámky, ktoré sa na EMR zobrazia môžu, ale nemusia. Varovanie alebo výstraha budú súčasťou hlásenia, ak údaje načítané z PG viedli k spusteniu tohto varovania alebo výstrahy.

SPRÁVY

Prezentujúca správa EGM

Ak je prezentujúca správa EGM k dispozícii v údajovej časti z PG, bude pripojená k hláseniu vo formáte PDF a spojená s príslušnou epizódou APMRT pomocou skupinového ID (OBX-4) epizódy APMRT.

Kombinovaná kontrolná správa

Kombinovaná kontrolná správa sa k hláseniu pripája ako PDF.

Správa záznamov arytmií

Správa záznamov arytmií je pripojená k správe vo formáte PDF ako samostatný OBX.

Správa HF PERSPECTIV™

Správa HF PERSPECTIV™ je pripojená k správe vo formáte PDF ako samostatný OBX.

PRÍKLAD SÚBOROV IDCO

KAPITOLA 3

Táto kapitola obsahuje nasledujúce témy:

- “Príklad súborov IDCO” na strane 3-2
- “Ukážkové Hlásenie 1 – Zariadenie S S-ICD” na strane 3-2
- “Ukážkové Hlásenie 2 – Iné Zariadenia (Bez S-ICD)” na strane 3-4

Outdated version. Do not use.
Version überholt. Nicht verwenden.
Version obsolète. Ne pas utiliser.
Versión obsoleta. No utilizar.
Versione obsoleta. Non utilizzare.
Verouderde versie. Niet gebruiken.
Föråldrad version. Använd ej.
Παλιά έκδοση. Μην την χρησιμοποιείτε.
Versão obsoleta. Não utilize.
Förældet version. Må ikke anvendes.
Zastaralá verzia. Nepoužívať.
Utdatert versjon. Skal ikke brukes.
Zastaraná verzia. Nepoužívať.
Elavult verzió. Ne használja!
Wersja nieaktualna. Nie używać.

PŘÍKLAD SÚBOROV IDCO

Nasledující příklad súbrov IDCO ukazuje, ako by mohli vyzerat hlásenia LATITUDE IDCO. Uvádzame iba dva príklady, možných výsledkov je veľa. Údaje v týchto ukázkových hláseniach sú hypotetické. Neobsahuje všetky pojmy LATITUDE IDCO.

UKÁŽKOVÉ HLÁSENIE 1 – ZARIADENIE S S-ICD

```
MSH|^~\&|LATITUDE|BOSTON SCIENTIFIC||Test Clinic|201502091852+0000||  
ORU^R01^ORU_R01|1000000134|P|2.6|||||UNICODE UTF-8|en^English||IHE_  
PCD_009^IHE_PCD^1.3.6.1.4.1.19376.1.6.1.9.1^ISO  
PID|1||model:A209/serial:100564^^^BSX^U~PID_001^^^Test Clinic^U||  
Smith^Joe||20150101|U  
PV1|1|R  
PV2|||||||Test Clinic group^^1  
OBR|1||1000000013|754052^MDC_IDC_ENUM_SESS_TYPE_RemoteDeviceInitiated  
^MDC||201501261012-0600|||||F  
NTE|1||Sensing Configuration: Alternate\br\Gain Setting: 1X\br\  
Post Shock Pacing: ON  
NTE|2||Jan 26, 2015 10:07 CST - Yellow Alert - Untreated episode.  
NTE|3||Jan 26, 2015 10:04 CST - Yellow Alert - Shock therapy  
delivered to convert arrhythmia (treated episode).  
OBX|1|CWE|720897^MDC_IDC_DEV_TYPE^MDC||753666^MDC_IDC_ENUM_DEV_  
TYPE_ICD^MDC|||||F  
OBX|2|ST|720898^MDC_IDC_DEV_MODEL^MDC||A209D|||||F  
OBX|3|ST|720899^MDC_IDC_DEV_SERIAL^MDC||100564|||||F  
OBX|4|CWE|720900^MDC_IDC_DEV_MFG^MDC||753732^MDC_IDC_ENUM_MFG_  
BSX^MDC|||||F  
OBX|5|DTM|720901^MDC_IDC_DEV_IMPLANT_DT^MDC||20150126|||||F  
OBX|6|DTM|721025^MDC_IDC_SESS_DTM^MDC||201501261012-0600|||||F  
OBX|7|CWE|721026^MDC_IDC_SESS_TYPE^MDC||  
754052^MDC_IDC_ENUM_SESS_TYPE_RemoteDeviceInitiated^MDC|||||F  
OBX|8|ST|721033^MDC_IDC_SESS_CLINIC_NAME^MDC||Test Clinic|||||F  
OBX|9|DTM|721216^MDC_IDC_MSMT_BATTERY_DTM^MDC||201501261012-0600  
|||||F  
OBX|10|CWE|721280^MDC_IDC_MSMT_BATTERY_STATUS^MDC||754113^MDC_IDC_  
_ENUM_BATTERY_STATUS_BOS^MDC|||||F  
OBX|11|NM|721536^MDC_IDC_MSMT_BATTERY_REMAINING_PERCENTAGE^MDC||98  
|||||F  
OBX|12|ST|739536^MDC_IDC_EPISODE_ID^MDC|1|002|||||F  
OBX|13|DTM|739552^MDC_IDC_EPISODE_DTM^MDC|1|201501261007-0600|||||F  
OBX|14|CWE|739568^MDC_IDC_EPISODE_TYPE^MDC|1|754888^MDC_IDC_ENUM_  
EPISODE_TYPE_Epis_Other^MDC|||||F  
OBX|15|CWE|739600^MDC_IDC_EPISODE_VENDOR_TYPE^MDC|1|||||F  
OBX|16|CWE|739584^MDC_IDC_EPISODE_TYPE_INDUCED^MDC|1|755330^MDC_IDC_  
_ENUM_EPISODE_TYPE_INDUCED_NO^MDC|||||F  
OBX|17|NM|739712^MDC_IDC_EPISODE_DURATION^MDC|1|39|s|||||F  
OBX|18|ST|739680^MDC_IDC_EPISODE_DETECTION_THERAPY_DETAILS^MDC|1|  
Untreated Episode|||||F  
OBX|19|ST|739536^MDC_IDC_EPISODE_ID^MDC|2|001|||||F  
OBX|20|DTM|739552^MDC_IDC_EPISODE_DTM^MDC|2|201501261004-0600|||||F  
OBX|21|CWE|739568^MDC_IDC_EPISODE_TYPE^MDC|2|754881^MDC_IDC_ENUM_  
EPISODE_TYPE_Epis_VF^MDC|||||F  
OBX|22|CWE|739600^MDC_IDC_EPISODE_VENDOR_TYPE^MDC|2|771073^MDC_IDC_  
ENUM_EPISODE_VENDOR_TYPE_BSX-Epis_VF^MDC|||||F  
OBX|23|CWE|739584^MDC_IDC_EPISODE_TYPE_INDUCED^MDC|2|755330^MDC_IDC_  
ENUM_EPISODE_TYPE_INDUCED_NO^MDC|||||F  
OBX|24|NM|739712^MDC_IDC_EPISODE_DURATION^MDC|2|43|s|||||F  
OBX|25|ST|739680^MDC_IDC_EPISODE_DETECTION_THERAPY_DETAILS^MDC|2|
```

Treated Episode: Shock Impedance=77 Ohms, Final Shock Polarity=REV|||||F
 OBX|26|CWE|731520^MDC_IDC_SET_TACHYTHERAPY_VSTAT^MDC||754817^MDC_IDC_ENUM_THERAPY_STATUS_On^MDC|||||F
 OBX|27|CWE|731648^MDC_IDC_SET_ZONE_TYPE^MDC|1|754945^MDC_IDC_ENUM_ZONE_TYPE_Zone_VF^MDC|||||F
 OBX|28|CWE|731712^MDC_IDC_SET_ZONE_VENDOR_TYPE^MDC|1|771139^MDC_IDC_ENUM_ZONE_VENDOR_TYPE_BSx-Zone_VF^MDC|||||F
 OBX|29|CWE|731776^MDC_IDC_SET_ZONE_STATUS^MDC|1|755009^MDC_IDC_ENUM_ZONE_STATUS_Active^MDC|||||F
 OBX|30|NM|731840^MDC_IDC_SET_ZONE_DETECTION_INTERVAL^MDC|1|273|ms|||||F
 OBX|31|NM|732225^MDC_IDC_SET_ZONE_SHOCK_ENERGY_1^MDC|1|80|J|||||F
 OBX|32|CWE|731648^MDC_IDC_SET_ZONE_TYPE^MDC|1|754946^MDC_IDC_ENUM_ZONE_TYPE_Zone_VT^MDC|||||F
 OBX|33|CWE|731712^MDC_IDC_SET_ZONE_VENDOR_TYPE^MDC|2|771137^MDC_IDC_ENUM_ZONE_VENDOR_TYPE_BSx-Zone_VT^MDC|||||F
 OBX|34|CWE|731776^MDC_IDC_SET_ZONE_STATUS^MDC|2|755009^MDC_IDC_ENUM_ZONE_STATUS_Active^MDC|||||F
 OBX|35|NM|731840^MDC_IDC_SET_ZONE_DETECTION_INTERVAL^MDC|2|300|ms|||||F
 OBX|36|ST|732032^MDC_IDC_SET_ZONE_DETECTION_DETAILS^MDC|2|SMART Charge: 204.69 s (133 intervals)|||||F
 OBX|37|NM|732225^MDC_IDC_SET_ZONE_SHOCK_ENERGY_1^MDC|2|80|J|||||F
 OBX|38|CWE|737952^MDC_IDC_STAT_EPISODE_TYPE^MDC|1|754888^MDC_IDC_ENUM_EPISODE_TYPE_Epis_Other^MDC|||||F
 OBX|39|CWE|737984^MDC_IDC_STAT_EPISODE_VENDOR_TYPE^MDC|1|||||F
 OBX|40|NM|738000^MDC_IDC_STAT_EPISODE_RECENT_COUNT^MDC|1|1|||||F
 OBX|41|DTM|738017^MDC_IDC_STAT_EPISODE_RECENT_COUNT_DTM_START^MDC|1|20150126|||||F
 OBX|42|DTM|738018^MDC_IDC_STAT_EPISODE_RECENT_COUNT_DTM_END^MDC|1|20150126|||||F
 OBX|43|NM|738032^MDC_IDC_STAT_EPISODE_TOTAL_COUNT^MDC|1|1|||||F
 OBX|44|DTM|738049^MDC_IDC_STAT_EPISODE_TOTAL_COUNT_DTM_START^MDC|1|20150126|||||F
 OBX|45|DTM|738050^MDC_IDC_STAT_EPISODE_TOTAL_COUNT_DTM_END^MDC|1|20150126|||||F
 OBX|46|CWE|737952^MDC_IDC_STAT_EPISODE_TYPE^MDC|2|754881^MDC_IDC_ENUM_EPISODE_TYPE_Epis_VF^MDC|||||F
 OBX|47|CWE|737984^MDC_IDC_STAT_EPISODE_VENDOR_TYPE^MDC|2|771073^MDC_IDC_ENUM_EPISODE_VENDOR_TYPE_BSx-Epis_VF^MDC|||||F
 OBX|48|NM|738000^MDC_IDC_STAT_EPISODE_RECENT_COUNT^MDC|2|1|||||F
 OBX|49|DTM|738017^MDC_IDC_STAT_EPISODE_RECENT_COUNT_DTM_START^MDC|2|20150126|||||F
 OBX|50|DTM|738018^MDC_IDC_STAT_EPISODE_RECENT_COUNT_DTM_END^MDC|2|20150126|||||F
 OBX|51|NM|738032^MDC_IDC_STAT_EPISODE_TOTAL_COUNT^MDC|2|1|||||F
 OBX|52|DTM|738049^MDC_IDC_STAT_EPISODE_TOTAL_COUNT_DTM_START^MDC|2|20150126|||||F
 OBX|53|DTM|738050^MDC_IDC_STAT_EPISODE_TOTAL_COUNT_DTM_END^MDC|2|20150126|||||F
 OBX|54|DTM|737937^MDC_IDC_STAT_TACHYTHERAPY_RECENT_DTM_START^MDC||20150126|||||F
 OBX|55|DTM|737938^MDC_IDC_STAT_TACHYTHERAPY_RECENT_DTM_END^MDC||20150126|||||F
 OBX|56|NM|737824^MDC_IDC_STAT_TACHYTHERAPY_SHOCKS_DELIVERED_RECENT^MDC||1|||||F
 OBX|57|DTM|737921^MDC_IDC_STAT_TACHYTHERAPY_TOTAL_DTM_START^MDC||20150126|||||F
 OBX|58|DTM|737922^MDC_IDC_STAT_TACHYTHERAPY_TOTAL_DTM_END^MDC||20150126|||||F
 OBX|59|NM|737840^MDC_IDC_STAT_TACHYTHERAPY_SHOCKS_DELIVERED_TOTAL^MDC

```
|||||F
OBX|60|ST|720961^MDC_IDC_LEAD_MODEL^MDC|1|1030|||||F
OBX|61|ST|720962^MDC_IDC_LEAD_SERIAL^MDC|1|A123456|||||F
OBX|62|CWE|720963^MDC_IDC_LEAD_MFG^MDC|1|753732^MDC_IDC_ENUM_MFG_BSX^MDC
|||||F
OBX|63|CWE|720966^MDC_IDC_LEAD_LOCATION^MDC|1|753861^MDC_IDC_ENUM_LEAD_
LOCATION_CHAMBER_
OTHER^MDC|||||F
OBX|64|CWE|720967^MDC_IDC_LEAD_LOCATION_DETAIL_1^MDC|1|753944^MDC_IDC_
ENUM_LEAD_LOCATION_
DETAIL_Subcutaneous^MDC|||||F
OBX|65|ED|18750-0^Cardiac Electrophysiology Report^LN^^Summary Report
||Application^PDF^^Base64^
{encoded PDF here}|||||F|||201501261012-0600
OBX|66|ED|18750-0^Cardiac Electrophysiology Report^LN^^Arrhythmia Logbook
Report||Application^
PDF^^Base64^{encoded PDF here}|||||F|||201501261012-0600
OBX|67|ED|18750-0^Cardiac Electrophysiology Report^LN^^Presenting
S-ECG Report||Application^
PDF^^Base64^{encoded PDF here}|||||F|||201501261012-0600
```

UKÁŽKOVÉ HLÁSENIE 2 – INÉ ZARIADENIA (BEZ S-ICD)

```
MSH|^~\&|LATITUDE|BOSTON SCIENTIFIC||TestClinic|201305092136+0000||ORU^R01^ORU_R01
|O|P|2.6|||||UNICODE UTF-8|en^English||IHE_PCD_009^IHE_PCD
^1.3.6.1.4.1.19376.1.6.1.9.1^ISO
PID|1||model:N119;serial:900141^^^BSX^U||testLastName^testName^^^^^T
~testAuxName^testAuxFName^^^^^P||19680215|U
PV1|1|R
PV2|||||N|||||TestDeviceGroup^^1
OBR|1||1000000916|754054^MDC_IDC_ENUM_SESS_TYPE_RemotePatientInitiated
^MDC||201001151330-0500|||||F
NTE|1||Feb 02, 2012 00:00 - Yellow Alert - Atrial Arrhythmia Burden of at least 3.0 hours
in a 24 hour period.
NTE|2||Feb 02, 2012 00:00 - Yellow Alert - Atrial Arrhythmia Burden of at least 3.0 hours
in a 24 hour period between Jan 11, 2010 23:00 and Jan 12, 2010 00:00.
NTE|3||Feb 02, 2012 00:00 - Yellow Alert - Cardiac Resynchronization Therapy pacing of
< 1%. Pacing was 2% between Jan 11, 2010 23:00 and Jan 12, 2010 00:00.
NTE|4||Feb 02, 2012 00:00 - Yellow Alert - Right ventricular pacing of > 1%. Pacing was
2% between Jan 11, 2010 23:00 and Jan 12, 2010 00:00.
NTE|5||Feb 02, 2012 00:00 - Yellow Alert - Patient triggered event stored.
NTE|6||Feb 02, 2012 00:00 - Yellow Alert - Weight gain of at least 5 lb. in a week or at
least 2 lb. average over a two or more day period.
NTE|7||Feb 02, 2012 00:00 - Yellow Alert - Weight loss of at least 5 lb. in a week or at
least 2 lb. average over a two or more day period.
NTE|8||Feb 02, 2012 00:00 - Yellow Alert - Explant indicator reached on Jan 12, 2010
00:00. Schedule replacement of this device.
NTE|9||Feb 02, 2012 00:00 - Yellow Alert - Voltage was too low for projected remaining
capacity.
NTE|10||Feb 02, 2012 00:00 - Red Alert - Remote monitoring disabled on Jan 12, 2010 00:00
due to limited battery capacity (Explant indicator reached on Feb 12, 2010 00:00).
NTE|11||Feb 02, 2012 00:00 - Yellow Alert - Therapy history corruption detected.
Previously stored therapy history data has been deleted.
NTE|12||Feb 02, 2012 00:00 - Red Alert - Possible device malfunction (Fault Code 1011).
NTE|13||Feb 02, 2012 00:00 - Red Alert - Possible device malfunction (Fault Code 1007).
NTE|14||Feb 02, 2012 00:00 - Red Alert - Possible device malfunction (Fault Code 1009).
NTE|15||Feb 02, 2012 00:00 - Red Alert - Device is in Safety Mode. For patient protection
the device has been switched to Safety Mode.
NTE|16||Feb 02, 2012 00:00 - Yellow Alert - Right ventricular automatic threshold
```

detected as > programmed amplitude or suspended.

NTE|17||Feb 02, 2012 00:00 - Yellow Alert - Atrial automatic threshold detected as > programmed amplitude or suspended.

NTE|18||Feb 02, 2012 00:00 - Red Alert - Shock lead impedance out of range.

NTE|19||Feb 02, 2012 00:00 - Red Alert - Low shock lead impedance detected when attempting to deliver a shock.

NTE|20||Feb 02, 2012 00:00 - Red Alert - High shock lead impedance detected when attempting to deliver a shock.

NTE|21||Feb 02, 2012 00:00 - Red Alert - High voltage detected on shock lead during charge.

NTE|22||Feb 02, 2012 00:00 - Red Alert - Electrocautery Protection is active.

NTE|23||Feb 02, 2012 00:00 - Yellow Alert - VT Episode occurred (V>A).

NTE|24||Feb 02, 2012 00:00 - Yellow Alert - Device Brady Mode is Off. Brady therapy will not be delivered.

NTE|25||Feb 02, 2012 00:00 - Yellow Alert - Left ventricular pacing lead impedance out of range.

NTE|26||Feb 02, 2012 00:00 - Yellow Alert - Atrial pacing lead impedance out of range.

NTE|27||Feb 02, 2012 00:00 - Yellow Alert - Right ventricular intrinsic amplitude out of range.

NTE|28||Feb 02, 2012 00:00 - Yellow Alert - Intrinsic amplitude out of range.

NTE|29||Feb 02, 2012 00:00 - Yellow Alert - Left ventricular intrinsic amplitude out of range.

NTE|30||Feb 02, 2012 00:00 - Yellow Alert - Atrial intrinsic amplitude out of range.

NTE|31||Feb 02, 2012 00:00 - Red Alert - Right ventricular pacing lead impedance out of range.

NTE|32||Feb 02, 2012 00:00 - Red Alert - Pacing lead impedance out of range.

NTE|33||Feb 02, 2012 00:00 - Yellow Alert - Ventricular shock therapy delivered to convert arrhythmia.

NTE|34||Feb 02, 2012 00:00 - Yellow Alert - Accelerated ventricular arrhythmia episode.

NTE|35||Feb 02, 2012 00:00 - Red Alert - V-Tachy mode set to value other than Monitor + Therapy.

NTE|36||Feb 02, 2012 00:00 - Red Alert - Lead Check notification due to abrupt change in right ventricular pacing lead impedance in the past 7 days.

NTE|37||Feb 02, 2012 00:00 - Red Alert - Lead Check notification due to episode with potential right ventricular non-physiologic signal.

NTE|38||Feb 02, 2012 00:00 - Yellow Alert - Left ventricular automatic threshold detected as > programmed amplitude or suspended.

OBX|1|ST|739536^MDC_IDC_EPISODE_ID^MDC|1|MRI-16|||||F

OBX|2|DTM|739552^MDC_IDC_EPISODE_DTM^MDC|1|200101020304|||||F

OBX|3|CWE|739568^MDC_IDC_EPISODE_TYPE^MDC|1|754888
 ^MDC_IDC_ENUM_EPISODE_TYPE_Epis_Other^MDC|||||F

OBX|4|CWE|739600^MDC_IDC_EPISODE_VENDOR_TYPE^MDC|1|||||F

OBX|5|NM|739712^MDC_IDC_EPISODE_DURATION^MDC|1|100|s|||||F

OBX|6|ST|739680^MDC_IDC_EPISODE_DETECTION_THERAPY_DETAILS
 ^MDC|1|MRI Protection Mode|||||F

OBX|7|ST|739536^MDC_IDC_EPISODE_ID^MDC|2|LVAT-15|||||F

OBX|8|DTM|739552^MDC_IDC_EPISODE_DTM^MDC|2|200101020304|||||F

OBX|9|CWE|739568^MDC_IDC_EPISODE_TYPE^MDC|2|754888
 ^MDC_IDC_ENUM_EPISODE_TYPE_Epis_Other^MDC|||||F

OBX|10|CWE|739600^MDC_IDC_EPISODE_VENDOR_TYPE^MDC|2|||||F

OBX|11|NM|739712^MDC_IDC_EPISODE_DURATION^MDC|2|100|s|||||F

OBX|12|ST|739680^MDC_IDC_EPISODE_DETECTION_THERAPY_DETAILS^MDC|2|LV Auto|||||F

OBX|13|ST|739536^MDC_IDC_EPISODE_ID^MDC|3|RVAT-14|||||F

OBX|14|DTM|739552^MDC_IDC_EPISODE_DTM^MDC|3|200101020304|||||F

OBX|15|CWE|739568^MDC_IDC_EPISODE_TYPE^MDC|3|754888
 ^MDC_IDC_ENUM_EPISODE_TYPE_Epis_Other^MDC|||||F

OBX|16|CWE|739600^MDC_IDC_EPISODE_VENDOR_TYPE^MDC|3|||||F

OBX|17|NM|739712^MDC_IDC_EPISODE_DURATION^MDC|3|100|s|||||F

OBX|18|ST|739680^MDC_IDC_EPISODE_DETECTION_THERAPY_DETAILS^MDC|3|RV Auto|||||F

3-6 PŘÍKLAD SÚBOROV IDCO
UKÁŽKOVÉ HLÁSENIE 2 – INÉ ZARIADENIA (BEZ S-ICD)

OBX|19|ST|739536^MDC_IDC_EPISODE_ID^MDC|4|APM-13|||||F
OBX|20|DTM|739552^MDC_IDC_EPISODE_DTM^MDC|4|200101020304|||||F
OBX|21|CWE|739568^MDC_IDC_EPISODE_TYPE^MDC|4|754886
^MDC_IDC_ENUM_EPISODE_TYPE_Epis_PeriodicEGM^MDC|||||F
OBX|22|CWE|739600^MDC_IDC_EPISODE_VENDOR_TYPE^MDC|4|771085
^MDC_IDC_ENUM_EPISODE_VENDOR_TYPE_BSX-Epis_APMRT^MDC|||||F
OBX|23|ST|739680^MDC_IDC_EPISODE_DETECTION_THERAPY_DETAILS^MDC|4|Presenting EGM|||||F
OBX|24|ST|739536^MDC_IDC_EPISODE_ID^MDC|5|PTM-12|||||F
OBX|25|DTM|739552^MDC_IDC_EPISODE_DTM^MDC|5|200101020304|||||F
OBX|26|CWE|739568^MDC_IDC_EPISODE_TYPE^MDC|5|754887
^MDC_IDC_ENUM_EPISODE_TYPE_Epis_PatientActivated^MDC|||||F
OBX|27|CWE|739600^MDC_IDC_EPISODE_VENDOR_TYPE^MDC|5|771080
^MDC_IDC_ENUM_EPISODE_VENDOR_TYPE_BSX-Epis_PTM^MDC|||||F
OBX|28|NM|739648^MDC_IDC_EPISODE_VENTRICULAR_INTERVAL_AT_DETECTION
^MDC|5|30000|ms|||||F
OBX|29|NM|739712^MDC_IDC_EPISODE_DURATION^MDC|5|100|s|||||F
OBX|30|ST|739680^MDC_IDC_EPISODE_DETECTION_THERAPY_DETAILS^MDC|5|PTM|||||F
OBX|31|ST|739536^MDC_IDC_EPISODE_ID^MDC|6|RAAT-11|||||F
OBX|32|DTM|739552^MDC_IDC_EPISODE_DTM^MDC|6|200101020304|||||F
OBX|33|CWE|739568^MDC_IDC_EPISODE_TYPE^MDC|6|754888
^MDC_IDC_ENUM_EPISODE_TYPE_Epis_Other^MDC|||||F
OBX|34|CWE|739600^MDC_IDC_EPISODE_VENDOR_TYPE^MDC|6|771084
^MDC_IDC_ENUM_EPISODE_VENDOR_TYPE_BSX-Epis_RMS^MDC|||||F
OBX|35|NM|739712^MDC_IDC_EPISODE_DURATION^MDC|6|100|s|||||F
OBX|36|ST|739680^MDC_IDC_EPISODE_DETECTION_THERAPY_DETAILS^MDC|6|RA Auto|||||F
OBX|37|ST|739536^MDC_IDC_EPISODE_ID^MDC|7|RYTHMIQ-10|||||F
OBX|38|DTM|739552^MDC_IDC_EPISODE_DTM^MDC|7|200101020304|||||F
OBX|39|CWE|739568^MDC_IDC_EPISODE_TYPE^MDC|7|754888
^MDC_IDC_ENUM_EPISODE_TYPE_Epis_Other^MDC|||||F
OBX|40|CWE|739600^MDC_IDC_EPISODE_VENDOR_TYPE^MDC|7|771084
^MDC_IDC_ENUM_EPISODE_VENDOR_TYPE_BSX-Epis_RMS^MDC|||||F
OBX|41|NM|739648
^MDC_IDC_EPISODE_VENTRICULAR_INTERVAL_AT_DETECTION^MDC|7|30000|ms|||||F
OBX|42|NM|739712^MDC_IDC_EPISODE_DURATION^MDC|7|100|s|||||F
OBX|43|ST|739680^MDC_IDC_EPISODE_DETECTION_THERAPY_DETAILS^MDC|7|RYTHMIQ|||||F
OBX|44|ST|739536^MDC_IDC_EPISODE_ID^MDC|8|RMS-9|||||F
OBX|45|DTM|739552^MDC_IDC_EPISODE_DTM^MDC|8|200101020304|||||F
OBX|46|CWE|739568^MDC_IDC_EPISODE_TYPE
^MDC|8|754888^MDC_IDC_ENUM_EPISODE_TYPE_Epis_Other^MDC|||||F
OBX|47|CWE|739600^MDC_IDC_EPISODE_VENDOR_TYPE^MDC|8|771084
^MDC_IDC_ENUM_EPISODE_VENDOR_TYPE_BSX-Epis_RMS^MDC|||||F
OBX|48|NM|739648
^MDC_IDC_EPISODE_VENTRICULAR_INTERVAL_AT_DETECTION^MDC|8|30000|ms|||||F
OBX|49|NM|739712^MDC_IDC_EPISODE_DURATION^MDC|8|100|s|||||F
OBX|50|ST|739680^MDC_IDC_EPISODE_DETECTION_THERAPY_DETAILS^MDC|8|RMS|||||F
OBX|51|ST|739536^MDC_IDC_EPISODE_ID^MDC|9|V-8|||||F
OBX|52|DTM|739552^MDC_IDC_EPISODE_DTM^MDC|9|200101020304|||||F
OBX|53|CWE|739568^MDC_IDC_EPISODE_TYPE
^MDC|9|754881^MDC_IDC_ENUM_EPISODE_TYPE_Epis_VF^MDC|||||F
OBX|54|CWE|739600^MDC_IDC_EPISODE_VENDOR_TYPE
^MDC|9|771073^MDC_IDC_ENUM_EPISODE_VENDOR_TYPE_BSX-Epis_VF^MDC|||||F
OBX|55|CWE|739584^MDC_IDC_EPISODE_TYPE_INDUCED^MDC|9|755329
^MDC_IDC_ENUM_EPISODE_TYPE_INDUCED_YES^MDC|||||F
OBX|56|NM|739648
^MDC_IDC_EPISODE_VENTRICULAR_INTERVAL_AT_DETECTION^MDC|9|30000|ms|||||F
OBX|57|NM|739712^MDC_IDC_EPISODE_DURATION^MDC|9|100|s|||||F
OBX|58|ST|739680
^MDC_IDC_EPISODE_DETECTION_THERAPY_DETAILS^MDC|9|VF ATPx1, 0.1J, 0.2J, 31Jx2|||||F
OBX|59|ST|739536^MDC_IDC_EPISODE_ID^MDC|10|PMT-7|||||F
OBX|60|DTM|739552^MDC_IDC_EPISODE_DTM^MDC|10|200101020304|||||F

OBX|61|CWE|739568^MDC_IDC_EPISODE_TYPE^MDC|10|754888
 ^MDC_IDC_ENUM_EPISODE_TYPE_Epis_Other^MDC|||||F
 OBX|62|CWE|739600^MDC_IDC_EPISODE_VENDOR_TYPE^MDC|10|771079
 ^MDC_IDC_ENUM_EPISODE_VENDOR_TYPE_BSX-Epis_PMT^MDC|||||F
 OBX|63|NM|739648^MDC_IDC_EPISODE_VENTRICULAR_INTERVAL_AT_DETECTION
 ^MDC|10|30000|ms|||||F
 OBX|64|NM|739712^MDC_IDC_EPISODE_DURATION^MDC|10|100|s|||||F
 OBX|65|ST|739680^MDC_IDC_EPISODE_DETECTION_THERAPY_DETAILS^MDC|10|PMT|||||F
 OBX|66|ST|739536^MDC_IDC_EPISODE_ID^MDC|11|V-6|||||F
 OBX|67|DTM|739552^MDC_IDC_EPISODE_DTM^MDC|11|200101020304|||||F
 OBX|68|CWE|739568^MDC_IDC_EPISODE_TYPE^MDC|11|754882
 ^MDC_IDC_ENUM_EPISODE_TYPE_Epis_VT^MDC|||||F
 OBX|69|CWE|739600^MDC_IDC_EPISODE_VENDOR_TYPE^MDC|11|771075
 ^MDC_IDC_ENUM_EPISODE_VENDOR_TYPE_BSX-Epis_VT-1^MDC|||||F
 OBX|70|CWE|739584^MDC_IDC_EPISODE_TYPE_INDUCED^MDC|11|755329
 ^MDC_IDC_ENUM_EPISODE_TYPE_INDUCED_YES^MDC|||||F
 OBX|71|NM|739648^MDC_IDC_EPISODE_VENTRICULAR_INTERVAL_AT_DETECTION
 ^MDC|11|30000|ms|||||F
 OBX|72|NM|739712^MDC_IDC_EPISODE_DURATION^MDC|11|100|s|||||F
 OBX|73|ST|739680^MDC_IDC_EPISODE_DETECTION_THERAPY_DETAILS
 ^MDC|11|VT-1 ATPx1, 0.1J, 0.2J, 31Jx2|||||F
 OBX|74|ST|739536^MDC_IDC_EPISODE_ID^MDC|12|ATR-5|||||F
 OBX|75|DTM|739552^MDC_IDC_EPISODE_DTM^MDC|12|200101020304|||||F
 OBX|76|CWE|739568^MDC_IDC_EPISODE_TYPE^MDC|12|754883
 ^MDC_IDC_ENUM_EPISODE_TYPE_Epis_ATAF^MDC|||||F
 OBX|77|CWE|739600^MDC_IDC_EPISODE_VENDOR_TYPE^MDC|12|771078
 ^MDC_IDC_ENUM_EPISODE_VENDOR_TYPE_BSX-Epis_ATR^MDC|||||F
 OBX|78|NM|739616^MDC_IDC_EPISODE_ATRIAL_INTERVAL_AT_DETECTION^MDC|12|20000|ms|||||F
 OBX|79|NM|739712^MDC_IDC_EPISODE_DURATION^MDC|12|100|s|||||F
 OBX|80|ST|739680^MDC_IDC_EPISODE_DETECTION_THERAPY_DETAILS^MDC|12|ATR|||||F
 OBX|81|ST|739536^MDC_IDC_EPISODE_ID^MDC|13|V-4|||||F
 OBX|82|DTM|739552^MDC_IDC_EPISODE_DTM^MDC|13|200101020304|||||F
 OBX|83|CWE|739568^MDC_IDC_EPISODE_TYPE^MDC|13|754882
 ^MDC_IDC_ENUM_EPISODE_TYPE_Epis_VT^MDC|||||F
 OBX|84|CWE|739600^MDC_IDC_EPISODE_VENDOR_TYPE^MDC|13|771077
 ^MDC_IDC_ENUM_EPISODE_VENDOR_TYPE_BSX-Epis_NSVT^MDC|||||F
 OBX|85|CWE|739584^MDC_IDC_EPISODE_TYPE_INDUCED^MDC|13|755329
 ^MDC_IDC_ENUM_EPISODE_TYPE_INDUCED_YES^MDC|||||F
 OBX|86|NM|739648^MDC_IDC_EPISODE_VENTRICULAR_INTERVAL_AT_DETECTION
 ^MDC|13|30000|ms|||||F
 OBX|87|NM|739712^MDC_IDC_EPISODE_DURATION^MDC|13|100|s|||||F
 OBX|88|ST|739680^MDC_IDC_EPISODE_DETECTION_THERAPY_DETAILS^MDC|13|NonSustV|||||F
 OBX|89|ST|739536^MDC_IDC_EPISODE_ID^MDC|14|V-3|||||F
 OBX|90|DTM|739552^MDC_IDC_EPISODE_DTM^MDC|14|200101020304|||||F
 OBX|91|CWE|739568^MDC_IDC_EPISODE_TYPE^MDC|14|754882
 ^MDC_IDC_ENUM_EPISODE_TYPE_Epis_VT^MDC|||||F
 OBX|92|CWE|739600^MDC_IDC_EPISODE_VENDOR_TYPE^MDC|14|771074
 ^MDC_IDC_ENUM_EPISODE_VENDOR_TYPE_BSX-Epis_VT^MDC|||||F
 OBX|93|CWE|739584^MDC_IDC_EPISODE_TYPE_INDUCED^MDC|14|755329
 ^MDC_IDC_ENUM_EPISODE_TYPE_INDUCED_YES^MDC|||||F
 OBX|94|NM|739648^MDC_IDC_EPISODE_VENTRICULAR_INTERVAL_AT_DETECTION
 ^MDC|14|30000|ms|||||F
 OBX|95|NM|739712^MDC_IDC_EPISODE_DURATION^MDC|14|100|s|||||F
 OBX|96|ST|739680^MDC_IDC_EPISODE_DETECTION_THERAPY_DETAILS
 ^MDC|14|VT ATPx1, 0.1J, 0.2J, 31Jx2|||||F
 OBX|97|ST|739536^MDC_IDC_EPISODE_ID^MDC|15|SBR-2|||||F
 OBX|98|DTM|739552^MDC_IDC_EPISODE_DTM^MDC|15|200101020304|||||F
 OBX|99|CWE|739568^MDC_IDC_EPISODE_TYPE^MDC|15|754888
 ^MDC_IDC_ENUM_EPISODE_TYPE_Epis_Other^MDC|||||F

3-8 PŘÍKLAD SÚBOROV IDCO
UKÁŽKOVÉ HLÁSENIE 2 – INÉ ZARIADENIA (BEZ S-ICD)

OBX|100|CWE|739600^MDC_IDC_EPISODE_VENDOR_TYPE^MDC|15|||||F
OBX|101|NM|739616^MDC_IDC_EPISODE_ATRIAL_INTERVAL_AT_DETECTION^MDC|15|20000|ms|||||F
OBX|102|NM|739712^MDC_IDC_EPISODE_DURATION^MDC|15|100|s|||||F
OBX|103|ST|739680^MDC_IDC_EPISODE_DETECTION_THERAPY_DETAILS^MDC|15|SBR|||||F
OBX|104|ST|739536^MDC_IDC_EPISODE_ID^MDC|16|V-1|||||F
OBX|105|DTM|739552^MDC_IDC_EPISODE_DTM^MDC|16|200101020304|||||F
OBX|106|CWE|739568^MDC_IDC_EPISODE_TYPE^MDC|16|754888
^MDC_IDC_ENUM_EPISODE_TYPE_Epis_Other^MDC|||||F
OBX|107|CWE|739600^MDC_IDC_EPISODE_VENDOR_TYPE^MDC|16|||||F
OBX|108|CWE|739584^MDC_IDC_EPISODE_TYPE_INDUCED^MDC|16|755329
^MDC_IDC_ENUM_EPISODE_TYPE_INDUCED_YES^MDC|||||F
OBX|109|NM|739648^MDC_IDC_EPISODE_VENTRICULAR_INTERVAL_AT_DETECTION
^MDC|16|30000|ms|||||F
OBX|110|NM|739712^MDC_IDC_EPISODE_DURATION^MDC|16|100|s|||||F
OBX|111|ST|739680^MDC_IDC_EPISODE_DETECTION_THERAPY_DETAILS
^MDC|16|Cmd V Therapy Delivered|||||F
OBX|112|ED|18750-0^Cardiac Electrophysiology Report^LN||Application^PDF^
^Base64^{encoded PDF included here}|||||F||201001151330-0500
OBX|113|ED|18750-0^Cardiac Electrophysiology Report^LN|4|Application^PDF^
^Base64^{encoded PDF included here}|||||F||201001151330-0500
OBX|114|CWE|720897^MDC_IDC_DEV_TYPE^MDC||753665^MDC_IDC_ENUM_DEV_TYPE_IPG^MDC|||||F
OBX|115|ST|720898^MDC_IDC_DEV_MODEL^MDC||N119|||||F
OBX|116|ST|720899^MDC_IDC_DEV_SERIAL^MDC||900141|||||F
OBX|117|CWE|720900^MDC_IDC_DEV_MFG^MDC||753732^MDC_IDC_ENUM_MFG_BS^MDC|||||F
OBX|118|DTM|720901^MDC_IDC_DEV_IMPLANT_DT^MDC||20120513|||||F
OBX|119|ST|720961^MDC_IDC_LEAD_MODEL^MDC|1|12345|||||F
OBX|120|ST|720962^MDC_IDC_LEAD_SERIAL^MDC|1|6789|||||F
OBX|121|CWE|720963^MDC_IDC_LEAD_MFG^MDC|1|753731^MDC_IDC_ENUM_MFG_BIO^MDC|||||F
OBX|122|CWE|720965^MDC_IDC_LEAD_POLARITY_TYPE^MDC|1|753793
^MDC_IDC_ENUM_LEAD_POLARITY_TYPE_UNI^MDC|||||F
OBX|123|DTM|720964^MDC_IDC_LEAD_IMPLANT_DT^MDC|1|201205|||||F
OBX|124|CWE|720966^MDC_IDC_LEAD_LOCATION^MDC|1|753858
^MDC_IDC_ENUM_LEAD_LOCATION_CHAMBER_LV^MDC|||||F
OBX|125|CWE|720967^MDC_IDC_LEAD_LOCATION_DETAIL_1
^MDC|1|753922^MDC_IDC_ENUM_LEAD_LOCATION_DETAIL_Apex^MDC|||||F
OBX|126|CWE|720968^MDC_IDC_LEAD_LOCATION_DETAIL_2^MDC|1|753925
^MDC_IDC_ENUM_LEAD_LOCATION_DETAIL_VenaCava^MDC|||||F
OBX|127|ST|720961^MDC_IDC_LEAD_MODEL^MDC|2|12345|||||F
OBX|128|ST|720962^MDC_IDC_LEAD_SERIAL^MDC|2|6789|||||F
OBX|129|CWE|720963^MDC_IDC_LEAD_MFG^MDC|2|753731^MDC_IDC_ENUM_MFG_BIO^MDC|||||F
OBX|130|CWE|720965^MDC_IDC_LEAD_POLARITY_TYPE^MDC|2|753793
^MDC_IDC_ENUM_LEAD_POLARITY_TYPE_UNI^MDC|||||F
OBX|131|DTM|720964^MDC_IDC_LEAD_IMPLANT_DT^MDC|2|201205|||||F
OBX|132|CWE|720966^MDC_IDC_LEAD_LOCATION^MDC|2|753858
^MDC_IDC_ENUM_LEAD_LOCATION_CHAMBER_LV^MDC|||||F
OBX|133|CWE|720967^MDC_IDC_LEAD_LOCATION_DETAIL_1^MDC|2|753922
^MDC_IDC_ENUM_LEAD_LOCATION_DETAIL_Apex^MDC|||||F
OBX|134|CWE|720968^MDC_IDC_LEAD_LOCATION_DETAIL_2^MDC|2|753925
^MDC_IDC_ENUM_LEAD_LOCATION_DETAIL_VenaCava^MDC|||||F
OBX|135|ST|720961^MDC_IDC_LEAD_MODEL^MDC|3|12345|||||F
OBX|136|ST|720962^MDC_IDC_LEAD_SERIAL^MDC|3|6789|||||F
OBX|137|CWE|720963^MDC_IDC_LEAD_MFG^MDC|3|753731^MDC_IDC_ENUM_MFG_BIO^MDC|||||F
OBX|138|CWE|720965^MDC_IDC_LEAD_POLARITY_TYPE^MDC|3|753793
^MDC_IDC_ENUM_LEAD_POLARITY_TYPE_UNI^MDC|||||F
OBX|139|DTM|720964^MDC_IDC_LEAD_IMPLANT_DT^MDC|3|201205|||||F
OBX|140|CWE|720966^MDC_IDC_LEAD_LOCATION^MDC|3|753858
^MDC_IDC_ENUM_LEAD_LOCATION_CHAMBER_LV^MDC|||||F
OBX|141|CWE|720967^MDC_IDC_LEAD_LOCATION_DETAIL_1^MDC|3|753922
^MDC_IDC_ENUM_LEAD_LOCATION_DETAIL_Apex^MDC|||||F

OBX|142|CWE|720968^MDC_IDC_LEAD_LOCATION_DETAIL_2^MDC|3|753925
 ^MDC_IDC_ENUM_LEAD_LOCATION_DETAIL_VenaCava^MDC|||||F
 OBX|143|ST|720961^MDC_IDC_LEAD_MODEL^MDC|4|12345|||||F
 OBX|144|ST|720962^MDC_IDC_LEAD_SERIAL^MDC|4|6789|||||F
 OBX|145|CWE|720963^MDC_IDC_LEAD_MFG^MDC|4|753731^MDC_IDC_ENUM_MFG_BIO^MDC|||||F
 OBX|146|CWE|720965^MDC_IDC_LEAD_POLARITY_TYPE^MDC|4|753793
 ^MDC_IDC_ENUM_LEAD_POLARITY_TYPE_UNI^MDC|||||F
 OBX|147|DTM|720964^MDC_IDC_LEAD_IMPLANT_DT^MDC|4|201205|||||F
 OBX|148|CWE|720966^MDC_IDC_LEAD_LOCATION^MDC|4|753858
 ^MDC_IDC_ENUM_LEAD_LOCATION_CHAMBER_LV^MDC|||||F
 OBX|149|CWE|720967^MDC_IDC_LEAD_LOCATION_DETAIL_1^MDC|4|753922
 ^MDC_IDC_ENUM_LEAD_LOCATION_DETAIL_Apex^MDC|||||F
 OBX|150|CWE|720968^MDC_IDC_LEAD_LOCATION_DETAIL_2^MDC|4|753925
 ^MDC_IDC_ENUM_LEAD_LOCATION_DETAIL_VenaCava^MDC|||||F
 OBX|151|ST|720961^MDC_IDC_LEAD_MODEL^MDC|5|12345|||||F
 OBX|152|ST|720962^MDC_IDC_LEAD_SERIAL^MDC|5|6789|||||F
 OBX|153|CWE|720963^MDC_IDC_LEAD_MFG^MDC|5|753731^MDC_IDC_ENUM_MFG_BIO^MDC|||||F
 OBX|154|CWE|720965^MDC_IDC_LEAD_POLARITY_TYPE^MDC|5|753793
 ^MDC_IDC_ENUM_LEAD_POLARITY_TYPE_UNI^MDC|||||F
 OBX|155|DTM|720964^MDC_IDC_LEAD_IMPLANT_DT^MDC|5|201205|||||F
 OBX|156|CWE|720966^MDC_IDC_LEAD_LOCATION^MDC|5|753858
 ^MDC_IDC_ENUM_LEAD_LOCATION_CHAMBER_LV^MDC|||||F
 OBX|157|CWE|720967^MDC_IDC_LEAD_LOCATION_DETAIL_1^MDC|5|753922
 ^MDC_IDC_ENUM_LEAD_LOCATION_DETAIL_Apex^MDC|||||F
 OBX|158|CWE|720968^MDC_IDC_LEAD_LOCATION_DETAIL_2^MDC|5|753925
 ^MDC_IDC_ENUM_LEAD_LOCATION_DETAIL_VenaCava^MDC|||||F
 OBX|159|ST|720961^MDC_IDC_LEAD_MODEL^MDC|6|12345|||||F
 OBX|160|ST|720962^MDC_IDC_LEAD_SERIAL^MDC|6|6789|||||F
 OBX|161|CWE|720963^MDC_IDC_LEAD_MFG^MDC|6|753731^MDC_IDC_ENUM_MFG_BIO^MDC|||||F
 OBX|162|CWE|720965^MDC_IDC_LEAD_POLARITY_TYPE^MDC|6|753793
 ^MDC_IDC_ENUM_LEAD_POLARITY_TYPE_UNI^MDC|||||F
 OBX|163|DTM|720964^MDC_IDC_LEAD_IMPLANT_DT^MDC|6|201205|||||F
 OBX|164|CWE|720966^MDC_IDC_LEAD_LOCATION^MDC|6|753858
 ^MDC_IDC_ENUM_LEAD_LOCATION_CHAMBER_LV^MDC|||||F
 OBX|165|CWE|720967^MDC_IDC_LEAD_LOCATION_DETAIL_1^MDC|6|753922
 ^MDC_IDC_ENUM_LEAD_LOCATION_DETAIL_Apex^MDC|||||F
 OBX|166|CWE|720968^MDC_IDC_LEAD_LOCATION_DETAIL_2^MDC|6|753925
 ^MDC_IDC_ENUM_LEAD_LOCATION_DETAIL_VenaCava^MDC|||||F
 OBX|167|DTM|721025^MDC_IDC_SESS_DTM^MDC||201001021310-0600|||||F
 OBX|168|CWE|721026^MDC_IDC_SESS_TYPE^MDC||754052
 ^MDC_IDC_ENUM_SESS_TYPE_RemoteDeviceInitiated^MDC|||||F
 OBX|169|ST|721033^MDC_IDC_SESS_CLINIC_NAME
 ^MDC||abcdefghijklmnopqrstuvwxyzabcdefghijklmnopqrstuvwxyz|||||F
 OBX|170|DTM|721216^MDC_IDC_MSMT_BATTERY_DTM^MDC||201205221755+0000|||||F
 OBX|171|CWE|721280^MDC_IDC_MSMT_BATTERY_STATUS^MDC||754113
 ^MDC_IDC_ENUM_BATTERY_STATUS_BOS^MDC|||||F
 OBX|172|NM|721472^MDC_IDC_MSMT_BATTERY_REMAINING_LONGEVITY^MDC||132|mo||>|||F
 OBX|173|NM|721536^MDC_IDC_MSMT_BATTERY_REMAINING_PERCENTAGE^MDC||100|%|||F
 OBX|174|DTM|721664^MDC_IDC_MSMT_CAP_CHARGE_DTM^MDC||201205221755|||||F
 OBX|175|NM|721728^MDC_IDC_MSMT_CAP_CHARGE_TIME^MDC||3.0|s|||F
 OBX|176|CWE|721856^MDC_IDC_MSMT_CAP_CHARGE_TYPE^MDC||754178
 ^MDC_IDC_ENUM_CHARGE_TYPE_Reformation^MDC|||||F
 OBX|177|DTM|721921^MDC_IDC_MSMT_LEADCHNL_RA_DTM_START^MDC||20121211|||||F
 OBX|178|DTM|721922^MDC_IDC_MSMT_LEADCHNL_RA_DTM_END^MDC||20121211|||||F
 OBX|179|CWE|721984^MDC_IDC_MSMT_LEADCHNL_RA_LEAD_CHANNEL_STATUS^MDC||754241
 ^MDC_IDC_ENUM_CHANNEL_STATUS_CheckLead^MDC|||||F
 OBX|180|NM|722051
 ^MDC_IDC_MSMT_LEADCHNL_RA_SENSING_INTR_AMPL_MEAN^MDC||mV||NAV|||F||20121211
 OBX|181|DTM|721925^MDC_IDC_MSMT_LEADCHNL_RV_DTM_START^MDC||19990102|||||F

OBX|182|DTM|721926^MDC_IDC_MSMT_LEADCHNL_RV_DTM_END^MDC||20121211|||||F
OBX|183|CWE|721985^MDC_IDC_MSMT_LEADCHNL_RV_LEAD_CHANNEL_STATUS^MDC||754241
^MDC_IDC_ENUM_CHANNEL_STATUS_CheckLead^MDC|||||F
OBX|184|NM|722055
^MDC_IDC_MSMT_LEADCHNL_RV_SENSING_INTR_AMPL_MEAN^MDC||0.1|mV||<|||F|||20121211
OBX|185|DTM|721933^MDC_IDC_MSMT_LEADCHNL_LV_DTM_START^MDC||19990102|||||F
OBX|186|DTM|721934^MDC_IDC_MSMT_LEADCHNL_LV_DTM_END^MDC||20121211|||||F
OBX|187|CWE|721987^MDC_IDC_MSMT_LEADCHNL_LV_LEAD_CHANNEL_STATUS^MDC||754241
^MDC_IDC_ENUM_CHANNEL_STATUS_CheckLead^MDC|||||F
OBX|188|NM|722063^MDC_IDC_MSMT_LEADCHNL_LV_SENSING_INTR_AMPL_MEAN
^MDC||25.0|mV||>|||F|||20121211
OBX|189|CWE|722112^MDC_IDC_MSMT_LEADCHNL_RA_SENSING_POLARITY^MDC||754305
^MDC_IDC_ENUM_POLARITY_UNI^MDC|||||F
OBX|190|CWE|722113^MDC_IDC_MSMT_LEADCHNL_RV_SENSING_POLARITY^MDC||754306
^MDC_IDC_ENUM_POLARITY_BI^MDC|||||F
OBX|191|CWE|722115^MDC_IDC_MSMT_LEADCHNL_LV_SENSING_POLARITY^MDC|||||OFF|||F
OBX|192|NM|722176^MDC_IDC_MSMT_LEADCHNL_RA_PACING_THRESHOLD_AMPLITUDE
^MDC||V||NAV|||F|||20121211
OBX|193|NM|722177^MDC_IDC_MSMT_LEADCHNL_RV_PACING_THRESHOLD_AMPLITUDE
^MDC||3.0|V||>|||F|||20121211
OBX|194|NM|722179^MDC_IDC_MSMT_LEADCHNL_LV_PACING_THRESHOLD_AMPLITUDE
^MDC||0.0|V|||F|||20121210
OBX|195|NM|722240^MDC_IDC_MSMT_LEADCHNL_RA_PACING_THRESHOLD_PULSEWIDTH
^MDC||ms||NAV|||F|||19990102
OBX|196|NM|722241^MDC_IDC_MSMT_LEADCHNL_RV_PACING_THRESHOLD_PULSEWIDTH
^MDC||0.4|ms|||F|||19990102
OBX|197|NM|722243^MDC_IDC_MSMT_LEADCHNL_LV_PACING_THRESHOLD_PULSEWIDTH
^MDC||0.4|ms|||F|||19990102
OBX|198|CWE|722304^MDC_IDC_MSMT_LEADCHNL_RA_PACING_THRESHOLD_MEASUREMENT_METHOD
^MDC||754369^MDC_IDC_ENUM_MEASUREMENT_METHOD_ProgrammerManual^MDC|||||F
OBX|199|CWE|722305^MDC_IDC_MSMT_LEADCHNL_RV_PACING_THRESHOLD_MEASUREMENT_METHOD
^MDC||754369^MDC_IDC_ENUM_MEASUREMENT_METHOD_ProgrammerManual^MDC|||||F
OBX|200|CWE|722307^MDC_IDC_MSMT_LEADCHNL_LV_PACING_THRESHOLD_MEASUREMENT_METHOD
^MDC||754369^MDC_IDC_ENUM_MEASUREMENT_METHOD_ProgrammerManual^MDC|||||F
OBX|201|CWE|722368^MDC_IDC_MSMT_LEADCHNL_RA_PACING_THRESHOLD_POLARITY^MDC||754305
^MDC_IDC_ENUM_POLARITY_UNI^MDC|||||F
OBX|202|CWE|722369^MDC_IDC_MSMT_LEADCHNL_RV_PACING_THRESHOLD_POLARITY^MDC||754306
^MDC_IDC_ENUM_POLARITY_BI^MDC|||||F
OBX|203|CWE|722371^MDC_IDC_MSMT_LEADCHNL_LV_PACING_THRESHOLD_POLARITY^MDC||754306
^MDC_IDC_ENUM_POLARITY_BI^MDC|||||F
OBX|204|NM|722432^MDC_IDC_MSMT_LEADCHNL_RA_IMPEDANCE_VALUE
^MDC||200|ohms||<|||F|||20121211
OBX|205|NM|722433^MDC_IDC_MSMT_LEADCHNL_RV_IMPEDANCE_VALUE
^MDC||2000|ohms||>|||F|||20121211
OBX|206|NM|722435^MDC_IDC_MSMT_LEADCHNL_LV_IMPEDANCE_VALUE
^MDC||201|ohms|||||F|||20121209
OBX|207|CWE|722496^MDC_IDC_MSMT_LEADCHNL_RA_IMPEDANCE_POLARITY^MDC||754305
^MDC_IDC_ENUM_POLARITY_UNI^MDC|||||F
OBX|208|CWE|722497^MDC_IDC_MSMT_LEADCHNL_RV_IMPEDANCE_POLARITY^MDC||754305
^MDC_IDC_ENUM_POLARITY_UNI^MDC|||||F
OBX|209|CWE|722499^MDC_IDC_MSMT_LEADCHNL_LV_IMPEDANCE_POLARITY^MDC||754306
^MDC_IDC_ENUM_POLARITY_BI^MDC|||||F
OBX|210|DTM|722560^MDC_IDC_MSMT_LEADHVCHNL_DTM_START^MDC||1|20121109|||||F
OBX|211|NM|722624^MDC_IDC_MSMT_LEADHVCHNL_IMPEDANCE^MDC||1|ohms||NAV|||F
OBX|212|CWE|722688^MDC_IDC_MSMT_LEADHVCHNL_MEASUREMENT_TYPE
^MDC||1|754433^MDC_IDC_ENUM_HVCHNL_MEASUREMENT_TYPE_LowVoltage^MDC|||||F
OBX|213|CWE|722752^MDC_IDC_MSMT_LEADHVCHNL_STATUS^MDC||1|754241
^MDC_IDC_ENUM_CHANNEL_STATUS_CheckLead^MDC|||||F
OBX|214|NM|729344^MDC_IDC_SET_CRT_LVRV_DELAY^MDC||-100|ms|||||F

OBX|215|CWE|729408^MDC_IDC_SET CRT PACED CHAMBERS^MDC||755265
 ^MDC_IDC_ENUM CRT PACED CHAMBERS RV_Only^MDC|||||F
 OBX|216|NM|729536^MDC_IDC_SET LEADCHNL RA SENSING SENSITIVITY^MDC||0.5|mV|||||F
 OBX|217|NM|729537^MDC_IDC_SET LEADCHNL RV SENSING SENSITIVITY^MDC||0.9|mV|||||F
 OBX|218|NM|729539^MDC_IDC_SET LEADCHNL LV SENSING SENSITIVITY^MDC||1.0|mV|||||F
 OBX|219|CWE|729600^MDC_IDC_SET LEADCHNL RA SENSING POLARITY^MDC|||||OFF|||F
 OBX|220|CWE|729601^MDC_IDC_SET LEADCHNL RV SENSING POLARITY^MDC||754305
 ^MDC_IDC_ENUM POLARITY UNI^MDC|||||F
 OBX|221|CWE|729676^MDC_IDC_SET LEADCHNL LV SENSING ANODE LOCATION^MDC||754498
 ^MDC_IDC_ENUM ELECTRODE LOCATION RV^MDC|||||F
 OBX|222|CWE|729740^MDC_IDC_SET LEADCHNL LV SENSING ANODE ELECTRODE^MDC|||||OFF|||F
 OBX|223|CWE|729804^MDC_IDC_SET LEADCHNL LV SENSING CATHODE LOCATION^MDC|||||OFF|||F
 OBX|224|CWE|729868^MDC_IDC_SET LEADCHNL LV SENSING CATHODE ELECTRODE
 ^MDC||754561^MDC_IDC_ENUM ELECTRODE NAME_Tip^MDC|||||F
 OBX|225|CWE|729920^MDC_IDC_SET LEADCHNL RA SENSING ADAPTATION MODE^MDC||754625
 ^MDC_IDC_ENUM SENSING ADAPTATION MODE_AdaptiveSensing^MDC|||||F
 OBX|226|CWE|729921^MDC_IDC_SET LEADCHNL RV SENSING ADAPTATION MODE^MDC||754625
 ^MDC_IDC_ENUM SENSING ADAPTATION MODE_AdaptiveSensing^MDC|||||F
 OBX|227|CWE|729923^MDC_IDC_SET LEADCHNL LV SENSING ADAPTATION MODE^MDC||754626
 ^MDC_IDC_ENUM SENSING ADAPTATION MODE_FixedSensing^MDC|||||F
 OBX|228|NM|729984^MDC_IDC_SET LEADCHNL RA PACING AMPLITUDE^MDC||5.1|V|||||F
 OBX|229|NM|729985^MDC_IDC_SET LEADCHNL RV PACING AMPLITUDE^MDC||5.0|V|||||F
 OBX|230|NM|729987^MDC_IDC_SET LEADCHNL LV PACING AMPLITUDE^MDC||2.8|V|||||F
 OBX|231|NM|730048^MDC_IDC_SET LEADCHNL RA PACING PULSEWIDTH^MDC||100.0|ms|||||F
 OBX|232|NM|730049^MDC_IDC_SET LEADCHNL RV PACING PULSEWIDTH^MDC||200.0|ms|||||F
 OBX|233|NM|730051^MDC_IDC_SET LEADCHNL LV PACING PULSEWIDTH^MDC||300.0|ms|||||F
 OBX|234|CWE|730112^MDC_IDC_SET LEADCHNL RA PACING POLARITY^MDC||754305
 ^MDC_IDC_ENUM POLARITY UNI^MDC|||||F
 OBX|235|CWE|730113^MDC_IDC_SET LEADCHNL RV PACING POLARITY^MDC||754305
 ^MDC_IDC_ENUM POLARITY UNI^MDC|||||F
 OBX|236|CWE|730188^MDC_IDC_SET LEADCHNL LV PACING ANODE LOCATION^MDC||754498
 ^MDC_IDC_ENUM ELECTRODE LOCATION RV^MDC|||||F
 OBX|237|CWE|730252^MDC_IDC_SET LEADCHNL LV PACING ANODE ELECTRODE^MDC||754564
 ^MDC_IDC_ENUM ELECTRODE NAME_Ring2^MDC|||||F
 OBX|238|CWE|730316^MDC_IDC_SET LEADCHNL LV PACING CATHODE LOCATION^MDC||754500
 ^MDC_IDC_ENUM ELECTRODE LOCATION LV^MDC|||||F
 OBX|239|CWE|730380^MDC_IDC_SET LEADCHNL LV PACING CATHODE ELECTRODE^MDC||754566
 ^MDC_IDC_ENUM ELECTRODE NAME_Ring4^MDC|||||F
 OBX|240|CWE|730432^MDC_IDC_SET LEADCHNL RA PACING CAPTURE MODE^MDC||754690
 ^MDC_IDC_ENUM PACING CAPTURE MODE_FixedPacing^MDC|||||F
 OBX|241|CWE|730433^MDC_IDC_SET LEADCHNL RV PACING CAPTURE MODE^MDC||754691
 ^MDC_IDC_ENUM PACING CAPTURE MODE_MonitorCapture^MDC|||||F
 OBX|242|CWE|730435^MDC_IDC_SET LEADCHNL LV PACING CAPTURE MODE^MDC||754690
 ^MDC_IDC_ENUM PACING CAPTURE MODE_FixedPacing^MDC|||||F
 OBX|243|CWE|730752^MDC_IDC_SET BRADY MODE^MDC||754760^MDC_IDC_ENUM BRADY MODE_DDD
 ^MDC|||||F
 OBX|244|NM|730880^MDC_IDC_SET BRADY LOWRATE^MDC||100|{beats}/min|||||F
 OBX|245|ST|731072^MDC_IDC_SET BRADY SENSOR TYPE^MDC||Accelerometer + MV|||||F
 OBX|246|NM|731136^MDC_IDC_SET BRADY MAX TRACKING RATE^MDC||130|{beats}/min|||||F
 OBX|247|NM|731200^MDC_IDC_SET BRADY MAX SENSOR RATE^MDC||180|{beats}/min|||||F
 OBX|248|NM|731265^MDC_IDC_SET BRADY SAV DELAY HIGH^MDC||102|ms|||||F
 OBX|249|NM|731266^MDC_IDC_SET BRADY SAV DELAY LOW^MDC||101|ms|||||F
 OBX|250|NM|731329^MDC_IDC_SET BRADY PAV DELAY HIGH^MDC||104|ms|||||F
 OBX|251|NM|731330^MDC_IDC_SET BRADY PAV DELAY LOW^MDC||103|ms|||||F
 OBX|252|CWE|731392^MDC_IDC_SET BRADY AT MODE SWITCH MODE^MDC||754763
 ^MDC_IDC_ENUM BRADY MODE_DDIR^MDC|||||F
 OBX|253|NM|731456^MDC_IDC_SET BRADY AT MODE SWITCH RATE^MDC||130|{beats}/min|||||F
 OBX|254|CWE|731520^MDC_IDC_SET TACHYTHERAPY VSTAT^MDC||754817
 ^MDC_IDC_ENUM THERAPY STATUS_On^MDC|||||F

OBX|255|CWE|731648^MDC_IDC_SET_ZONE_TYPE^MDC|1|754945^MDC_IDC_ENUM_ZONE_TYPE_Zone_VF
^MDC|||||F

OBX|256|CWE|731712^MDC_IDC_SET_ZONE_VENDOR_TYPE^MDC|1|771139
^MDC_IDC_ENUM_ZONE_VENDOR_TYPE_BSX-Zone_VF^MDC|||||F

OBX|257|CWE|731776^MDC_IDC_SET_ZONE_STATUS^MDC|1|755009
^MDC_IDC_ENUM_ZONE_STATUS_Active^MDC|||||F

OBX|258|NM|731840^MDC_IDC_SET_ZONE_DETECTION_INTERVAL^MDC|1|462|ms|||||F

OBX|259|CWE|732097^MDC_IDC_SET_ZONE_TYPE_ATP_1^MDC|1|755073
^MDC_IDC_ENUM_ATP_TYPE_Burst^MDC|||||F

OBX|260|NM|732161^MDC_IDC_SET_ZONE_NUM_ATP_SEQS_1^MDC|1|1|||||F

OBX|261|NM|732225^MDC_IDC_SET_ZONE_SHOCK_ENERGY_1^MDC|1|21.1|J|||||F

OBX|262|NM|732289^MDC_IDC_SET_ZONE_NUM_SHOCKS_1^MDC|1|1|||||F

OBX|263|NM|732226^MDC_IDC_SET_ZONE_SHOCK_ENERGY_2^MDC|1|31.1|J|||||F

OBX|264|NM|732290^MDC_IDC_SET_ZONE_NUM_SHOCKS_2^MDC|1|1|||||F

OBX|265|NM|732227^MDC_IDC_SET_ZONE_SHOCK_ENERGY_3^MDC|1|41.1|J|||||F

OBX|266|NM|732291^MDC_IDC_SET_ZONE_NUM_SHOCKS_3^MDC|1|6|||||F

OBX|267|CWE|731648^MDC_IDC_SET_ZONE_TYPE^MDC|2|754946^MDC_IDC_ENUM_ZONE_TYPE_Zone_VT
^MDC|||||F

OBX|268|CWE|731712^MDC_IDC_SET_ZONE_VENDOR_TYPE^MDC|2|771137
^MDC_IDC_ENUM_ZONE_VENDOR_TYPE_BSX-Zone_VT^MDC|||||F

OBX|269|CWE|731776^MDC_IDC_SET_ZONE_STATUS^MDC|2|755009
^MDC_IDC_ENUM_ZONE_STATUS_Active^MDC|||||F

OBX|270|NM|731840^MDC_IDC_SET_ZONE_DETECTION_INTERVAL^MDC|2|463|ms|||||F

OBX|271|CWE|732097^MDC_IDC_SET_ZONE_TYPE_ATP_1^MDC|2|755073
^MDC_IDC_ENUM_ATP_TYPE_Burst^MDC|||||F

OBX|272|NM|732161^MDC_IDC_SET_ZONE_NUM_ATP_SEQS_1^MDC|2|2|||||F

OBX|273|CWE|732098^MDC_IDC_SET_ZONE_TYPE_ATP_2^MDC|2|755074
^MDC_IDC_ENUM_ATP_TYPE_Ramp^MDC|||||F

OBX|274|NM|732162^MDC_IDC_SET_ZONE_NUM_ATP_SEQS_2^MDC|2|3|||||F

OBX|275|NM|732225^MDC_IDC_SET_ZONE_SHOCK_ENERGY_1^MDC|2|22.2|J|||||F

OBX|276|NM|732289^MDC_IDC_SET_ZONE_NUM_SHOCKS_1^MDC|2|1|||||F

OBX|277|NM|732226^MDC_IDC_SET_ZONE_SHOCK_ENERGY_2^MDC|2|32.2|J|||||F

OBX|278|NM|732290^MDC_IDC_SET_ZONE_NUM_SHOCKS_2^MDC|2|1|||||F

OBX|279|NM|732227^MDC_IDC_SET_ZONE_SHOCK_ENERGY_3^MDC|2|42.2|J|||||F

OBX|280|NM|732291^MDC_IDC_SET_ZONE_NUM_SHOCKS_3^MDC|2|3|||||F

OBX|281|CWE|731648^MDC_IDC_SET_ZONE_TYPE^MDC|3|754946^MDC_IDC_ENUM_ZONE_TYPE_Zone_VT
^MDC|||||F

OBX|282|CWE|731712^MDC_IDC_SET_ZONE_VENDOR_TYPE^MDC|3|771138
^MDC_IDC_ENUM_ZONE_VENDOR_TYPE_BSX-Zone_VT-1^MDC|1|1|F

OBX|283|CWE|731776^MDC_IDC_SET_ZONE_STATUS^MDC|3|755009
^MDC_IDC_ENUM_ZONE_STATUS_Active^MDC|||||F

OBX|284|NM|731840^MDC_IDC_SET_ZONE_DETECTION_INTERVAL^MDC|3|465|ms|||||F

OBX|285|CWE|732097^MDC_IDC_SET_ZONE_TYPE_ATP_1^MDC|3|755074
^MDC_IDC_ENUM_ATP_TYPE_Ramp^MDC|||||F

OBX|286|NM|732161^MDC_IDC_SET_ZONE_NUM_ATP_SEQS_1^MDC|3|4|||||F

OBX|287|CWE|732098^MDC_IDC_SET_ZONE_TYPE_ATP_2^MDC|3|755076
^MDC_IDC_ENUM_ATP_TYPE_RampScan^MDC|||||F

OBX|288|NM|732162^MDC_IDC_SET_ZONE_NUM_ATP_SEQS_2^MDC|3|5|||||F

OBX|289|NM|732225^MDC_IDC_SET_ZONE_SHOCK_ENERGY_1^MDC|3|23.2|J|||||F

OBX|290|NM|732289^MDC_IDC_SET_ZONE_NUM_SHOCKS_1^MDC|3|1|||||F

OBX|291|NM|732226^MDC_IDC_SET_ZONE_SHOCK_ENERGY_2^MDC|3|33.2|J|||||F

OBX|292|NM|732290^MDC_IDC_SET_ZONE_NUM_SHOCKS_2^MDC|3|1|||||F

OBX|293|NM|732227^MDC_IDC_SET_ZONE_SHOCK_ENERGY_3^MDC|3|43.2|J|||||F

OBX|294|NM|732291^MDC_IDC_SET_ZONE_NUM_SHOCKS_3^MDC|3|2|||||F

OBX|295|DTM|737489^MDC_IDC_STAT_DTM_START^MDC||20120522|||||F

OBX|296|DTM|737490^MDC_IDC_STAT_DTM_END^MDC||20120522|||||F

OBX|297|DTM|737505^MDC_IDC_STAT_BRADY_DTM_START^MDC||20120522|||||F

OBX|298|DTM|737506^MDC_IDC_STAT_BRADY_DTM_END^MDC||20120522|||||F

OBX|299|NM|737520^MDC_IDC_STAT_BRADY_RA_PERCENT_PACED^MDC||0|%|||||F




OBX|300|NM|737536^MDC_IDC_STAT_BRADY_RV_PERCENT_PACED^MDC||0|%|||||F
 OBX|301|DTM|737777^MDC_IDC_STAT_CRT_DTM_START^MDC||20120522|||||F
 OBX|302|DTM|737778^MDC_IDC_STAT_CRT_DTM_END^MDC||20120522|||||F
 OBX|303|NM|737792^MDC_IDC_STAT_CRT_LV_PERCENT_PACED^MDC||0|%|||||F
 OBX|304|CWE|737952^MDC_IDC_STAT_EPISODE_TYPE^MDC|1|754882
 ^MDC_IDC_ENUM_EPISODE_TYPE_Epis_VT^MDC|||||F
 OBX|305|CWE|737984^MDC_IDC_STAT_EPISODE_VENDOR_TYPE^MDC|1|771077
 ^MDC_IDC_ENUM_EPISODE_VENDOR_TYPE_BSX-Epis_NSVT^MDC|||||F
 OBX|306|NM|738000^MDC_IDC_STAT_EPISODE_RECENT_COUNT^MDC|1|0|||||F
 OBX|307|DTM|738017^MDC_IDC_STAT_EPISODE_RECENT_COUNT_DTM_START^MDC|1|20120522|||||F
 OBX|308|DTM|738018^MDC_IDC_STAT_EPISODE_RECENT_COUNT_DTM_END^MDC|1|20120522|||||F
 OBX|309|CWE|737952^MDC_IDC_STAT_EPISODE_TYPE^MDC|1|754882
 ^MDC_IDC_ENUM_EPISODE_TYPE_Epis_VT^MDC|||||F
 OBX|310|CWE|737984^MDC_IDC_STAT_EPISODE_VENDOR_TYPE^MDC|1|||||F
 OBX|311|NM|738000^MDC_IDC_STAT_EPISODE_RECENT_COUNT^MDC|1|0|||||F
 OBX|312|DTM|738017^MDC_IDC_STAT_EPISODE_RECENT_COUNT_DTM_START^MDC|1|20120522|||||F
 OBX|313|DTM|738018^MDC_IDC_STAT_EPISODE_RECENT_COUNT_DTM_END^MDC|1|20120522|||||F
 OBX|314|CWE|737952^MDC_IDC_STAT_EPISODE_TYPE^MDC|2|754884
 ^MDC_IDC_ENUM_EPISODE_TYPE_Epis_SVT^MDC|||||F
 OBX|315|CWE|737984^MDC_IDC_STAT_EPISODE_VENDOR_TYPE^MDC|2|771076
 MDC_IDC_ENUM_EPISODE_VENDOR_TYPE_BSX-Epis_SVT^MDC|||||F
 OBX|316|NM|738000^MDC_IDC_STAT_EPISODE_RECENT_COUNT^MDC|2|0|||||F
 OBX|317|DTM|738017^MDC_IDC_STAT_EPISODE_RECENT_COUNT_DTM_START^MDC|2|20120522|||||F
 OBX|318|DTM|738018^MDC_IDC_STAT_EPISODE_RECENT_COUNT_DTM_END^MDC|2|20120522|||||F
 OBX|319|CWE|737952^MDC_IDC_STAT_EPISODE_TYPE^MDC|4|754883
 ^MDC_IDC_ENUM_EPISODE_TYPE_Epis_ATA^MDC|||||F
 OBX|320|CWE|737984^MDC_IDC_STAT_EPISODE_VENDOR_TYPE^MDC|4|771078
 ^MDC_IDC_ENUM_EPISODE_VENDOR_TYPE_BSX-Epis_ATR^MDC|||||F
 OBX|321|NM|738000^MDC_IDC_STAT_EPISODE_RECENT_COUNT^MDC|4|0|||||F
 OBX|322|DTM|738017^MDC_IDC_STAT_EPISODE_RECENT_COUNT_DTM_START^MDC|4|20120522|||||F
 OBX|323|DTM|738018^MDC_IDC_STAT_EPISODE_RECENT_COUNT_DTM_END^MDC|4|20120522|||||F
 OBX|324|CWE|737952^MDC_IDC_STAT_EPISODE_TYPE^MDC|5|754888
 ^MDC_IDC_ENUM_EPISODE_TYPE_Epis_Other^MDC|||||F
 OBX|325|CWE|737984^MDC_IDC_STAT_EPISODE_VENDOR_TYPE^MDC|5|771077
 ^MDC_IDC_ENUM_EPISODE_VENDOR_TYPE_BSX-Epis_VF^MDC|||||F
 OBX|326|NM|738000^MDC_IDC_STAT_EPISODE_RECENT_COUNT^MDC|5|0|||||F
 OBX|327|DTM|738017^MDC_IDC_STAT_EPISODE_RECENT_COUNT_DTM_START^MDC|5|20120522|||||F
 OBX|328|DTM|738018^MDC_IDC_STAT_EPISODE_RECENT_COUNT_DTM_END^MDC|5|20120522|||||F
 OBX|329|CWE|737952^MDC_IDC_STAT_EPISODE_TYPE^MDC|6|754881
 ^MDC_IDC_ENUM_EPISODE_TYPE_Epis_VF^MDC|||||F
 OBX|330|CWE|737984^MDC_IDC_STAT_EPISODE_VENDOR_TYPE^MDC|6|771073
 ^MDC_IDC_ENUM_EPISODE_VENDOR_TYPE_BSX-Epis_VF^MDC|||||F
 OBX|331|NM|738000^MDC_IDC_STAT_EPISODE_RECENT_COUNT^MDC|6|1|||||F
 OBX|332|DTM|738017^MDC_IDC_STAT_EPISODE_RECENT_COUNT_DTM_START^MDC|6|20120522|||||F
 OBX|333|DTM|738018^MDC_IDC_STAT_EPISODE_RECENT_COUNT_DTM_END^MDC|6|20120522|||||F
 OBX|334|CWE|737952^MDC_IDC_STAT_EPISODE_TYPE^MDC|7|754882
 ^MDC_IDC_ENUM_EPISODE_TYPE_Epis_VT^MDC|||||F
 OBX|335|CWE|737984^MDC_IDC_STAT_EPISODE_VENDOR_TYPE^MDC|7|771074
 ^MDC_IDC_ENUM_EPISODE_VENDOR_TYPE_BSX-Epis_VT^MDC|||||F
 OBX|336|NM|738000^MDC_IDC_STAT_EPISODE_RECENT_COUNT^MDC|7|2|||||F
 OBX|337|DTM|738017^MDC_IDC_STAT_EPISODE_RECENT_COUNT_DTM_START^MDC|7|20120522|||||F
 OBX|338|DTM|738018^MDC_IDC_STAT_EPISODE_RECENT_COUNT_DTM_END^MDC|7|20120522|||||F
 OBX|339|CWE|737952^MDC_IDC_STAT_EPISODE_TYPE^MDC|8|754882
 ^MDC_IDC_ENUM_EPISODE_TYPE_Epis_VT^MDC|||||F
 OBX|340|CWE|737984^MDC_IDC_STAT_EPISODE_VENDOR_TYPE^MDC|8|771075
 ^MDC_IDC_ENUM_EPISODE_VENDOR_TYPE_BSX-Epis_VT-1^MDC|||||F
 OBX|341|NM|738000^MDC_IDC_STAT_EPISODE_RECENT_COUNT^MDC|8|3|||||F
 OBX|342|DTM|738017^MDC_IDC_STAT_EPISODE_RECENT_COUNT_DTM_START^MDC|8|20120522|||||F
 OBX|343|DTM|738018^MDC_IDC_STAT_EPISODE_RECENT_COUNT_DTM_END^MDC|8|20120522|||||F
 OBX|344|CWE|737952^MDC_IDC_STAT_EPISODE_TYPE^MDC|9|754884

```
^MDC_IDC_ENUM_EPISODE_TYPE_Epis_Monitor^MDC|||||F
OBX|345|CWE|737984^MDC_IDC_STAT_EPISODE_VENDOR_TYPE^MDC|9|||||F
OBX|346|NM|738000^MDC_IDC_STAT_EPISODE_RECENT_COUNT^MDC|9|4|||||F
OBX|347|DTM|738017^MDC_IDC_STAT_EPISODE_RECENT_COUNT_DTM_START^MDC|9|20120522|||||F
OBX|348|DTM|738018^MDC_IDC_STAT_EPISODE_RECENT_COUNT_DTM_END^MDC|9|20120522|||||F
```

Outdated version. Do not use.
Version überholt. Nicht verwenden.
Version obsolete. Ne pas utiliser.
Versión obsoleta. No utilizar.
Versione obsoleta. Non utilizzare.
Verouderde versie. Niet gebruiken.
Föråldrad version. Använd ej.
Παλιά έκδοση. Μην την χρησιμοποιείτε.
Versão obsoleta. Não utilize.
Forældet version. Må ikke anvendes.
Zastaralá verzia. Nepoužívať.
Utdatert versjon. Skal ikke brukes.
Zastaraná verzia. Nepoužívať.
Elavult verzió. Ne használja!
Wersja nieaktualna. Nie używać.

SYMBOLY NA ŠTÍTKOCH

PRÍLOHA A

| Symbol | Význam |
|--|---|
|  | Výrobca |
|  | Splnomocnený zástupca v Európskom spoločenstve |
|  0086 | Značka CE zhody s identifikáciou príslušného úradu, ktorý schvaľuje používanie značky |

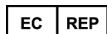
Outdated version. Do not use.
 Version überholt. Nicht verwenden.
 Version obsolète. Ne pas utiliser.
 Versión obsoleta. No utilizar.
 Versiões obsoletas. Não utilizar.
 Verouderde versie. Niet gebruiken.
 Föråldrad version. Använd ej.
 Παλιά έκδοση. Μην την χρησιμοποιείτε.
 Versão obsoleta. Não utilize.
 Forældet version. Må ikke anvendes.
 Zastaralá verze. Nepoužívat.
 Utdatert versjon. Skal ikke brukes.
 Zastaraná verzia. Nepoužívať.
 Elavult verzió. Ne használja!
 Wersja nieaktualna. Nie używać.

Outdated version. Do not use.
Version überholt. Nicht verwenden.
Version obsolète. Ne pas utiliser.
Versión obsoleta. No utilizar.
Versione obsoleta. Non utilizzare.
Verouderde versie. Niet gebruiken.
Föråldrad version. Använd ej.
Παλιά έκδοση. Μην την χρησιμοποιείτε.
Versão obsoleta. Não utilize.
Forældet version. Må ikke anvendes.
Zastaralá verze. Nepoužívat.
Utdatert versjon. Skal ikke brukes.
Zastaraná verzia. Nepoužívať.
Elavult verzió. Ne használja!
Wersja nieaktualna. Nie używać.

Outdated version. Do not use.
Version überholt. Nicht verwenden.
Version obsolète. Ne pas utiliser.
Versión obsoleta. No utilizar.
Versione obsoleta. Non utilizzate.
Verouderde versie. Niet gebruiken.
Föråldrad version. Använd ej.
Παλιά έκδοση. Μην την χρησιμοποιείτε.
Versão obsoleta. Não utilize.
Forældet version. Må ikke anvendes.
Zastaralá verze. Nepoužívat.
Utdatert versjon. Skal ikke brukes.
Zastaraná verzia. Nepoužívať.
Elavult verzió. Ne használja!
Wersja nieaktualna. Nie używać.



Boston Scientific Corporation
4100 Hamline Avenue North
St. Paul, MN 55112-5798 USA



Guidant Europe NV/SA; Boston Scientific
Green Square, Lambroekstraat 5D
1831 Diegem, Belgium

www.bostonscientific.com

1.800.CARDIAC (227.3422)

+1.651.582.4000

© 2015 Boston Scientific Corporation or its affiliates.

All rights reserved.

359273-028 SK Europe 2015-02

Outdated version. Do not use.
Version überholt. Nicht verwenden.
Version obsolète. Ne pas utiliser.
Versión obsoleta. No utilizar.
Versione obsoleta. Non utilizzate.
Verouderde versie. Niet gebruiken.
Föråldrad version. Använd ej.
Παλιά έκδοση. Μην την χρησιμοποιείτε.
Versão obsoleta. Não utilize.
Forældet version. Må ikke anvendes.
Zastaralá verzia. Nepoužívať.
Utdatert versjon. Skal ikke brukes.
Zastaraná verzia. Nepoužívať.
Elavult verzió. Ne használja!
Wersja nieaktualna. Nie używać.

C E0086

